

**МИНОБРНАУКИ РОССИИ**  
**Санкт-Петербургский государственный**  
**электротехнический университет**  
**«ЛЭТИ» им. В.И. Ульянова (Ленина)**  
**Кафедра САПР**

**ОТЧЕТ**  
**по лабораторной работе №1**  
**по дисциплине «Основы цифровой обработки сигналов»**  
**Тема: «Оцифровка аналогового сигнала»**

Студент гр.2301	_____	Титова С.М.
Студент гр.2301	_____	Комиссаров П.Е.
Студент гр.2301	_____	Решетов А.А.
Студент гр.2301	_____	Федоренко А.Е.
Преподаватель:	_____	Пестерев. Д. О.

Санкт-Петербург  
2024

## **Задание**

1. Значения синусоидального сигнала с амплитудой в пределах [0.5; 2.5] В и частотой: 250 Гц, 500 Гц, 1000, Гц, 2000 Гц, 10кГц, 20кГц; полученные с помощью оцифровки аналогового сигнала с NI Elvis. Без delay и с delay(1) [delay(0.9)] с длительностью 10 секунд.

2. Экспериментальная оценка снизу для частоты дискретизации АЦП arduino.

## **Содержание отчета**

1. Данные о ЦАП микроконтроллера Arduino, на котором проводилась лабораторная работа, из datasheet.

2. На основе полученных данных и графиков оценка частоты дискретизации АЦП arduino. Использование полученного значения в дальнейшем.

3. Графики полученных в ходе работы с NI Elvis синусоидальных сигналов. Выбираем интервал времени так, чтобы на графике помещалось около четырех периодов сигнала. Строим в том же окне график синусоидального сигнала заданной частоты и амплитуды, полученный с помощью функции  $\sin()$ , и сравниваем их.

4. Строим амплитудный и фазовый спектр исследуемых сигналов. Строим амплитудный и фазовый спектр исследуемых сигналов с использованием оконной функции Хемминга на интервале в один период.

5. Описываем полученные результаты для сигналов, частота которых превышает частоту дискретизации.

6. Проверяем 10 свойств преобразования Фурье с помощью символьных вычислений.

7. Проверяем 1, 2, 4, 7, 8 свойство с помощью функции  $\text{fft}$ .

## **Лабораторная работа №1 «Оцифровка аналогового сигнала»**

### **1. Данные о ЦАП микроконтроллера Arduino из datasheet:**

Тактовая частота в Arduino по умолчанию 125 кГц, то есть АЦП выполняет 125 000 тактов в секунду. Тактовая частота определяет скорость, с которой АЦП может выполнять преобразования аналогового сигнала в цифровой.

Одно аналого-цифровое преобразование занимает 13 тактов АЦП. Это время, необходимое для того, чтобы АЦП смог точно измерить аналоговый сигнал и преобразовать его в цифровой код.

Частота дискретизации — это количество раз, которое АЦП может выполнить преобразование в секунду. Она рассчитывается как отношение тактовой частоты АЦП к количеству тактов, необходимых для одного преобразования, следовательно получаем:

$$\frac{125000}{13} = 9615.3846$$

Получается, что АЦП может выполнять около 9615 преобразований в секунду.

Также Arduino использует 10-разрядный АЦП. Разрядность АЦП определяет количество уровней квантования, то есть количество различных значений, которые АЦП может выдать в результате преобразования.

$$2^{10} = 1024$$

Таким образом, 10-разрядный АЦП в Arduino имеет 1024 уровня квантования. Это означает, что АЦП может различать 1024 различных значения аналогового сигнала.

2. На основе полученных данных мы оценили частоту дискретизации АЦП arduino и получили следующие результаты:

$$F_s = \frac{34438}{10} \approx 3444 - \text{без задержки};$$

$$F_s = \frac{7740}{10} \approx 774 - \text{с задержкой delay(1)}.$$

Количество записей в файл мы делим на 10, так как записывались данные в течение 10 секунд

3. Далее были построены графики двух синусоид, полученных экспериментальным и теоретическим путём, для различных частот: 250, 500, 1000, 2000, 10000, 20000 Гц.

Графики синусоидального сигнала без задержки:

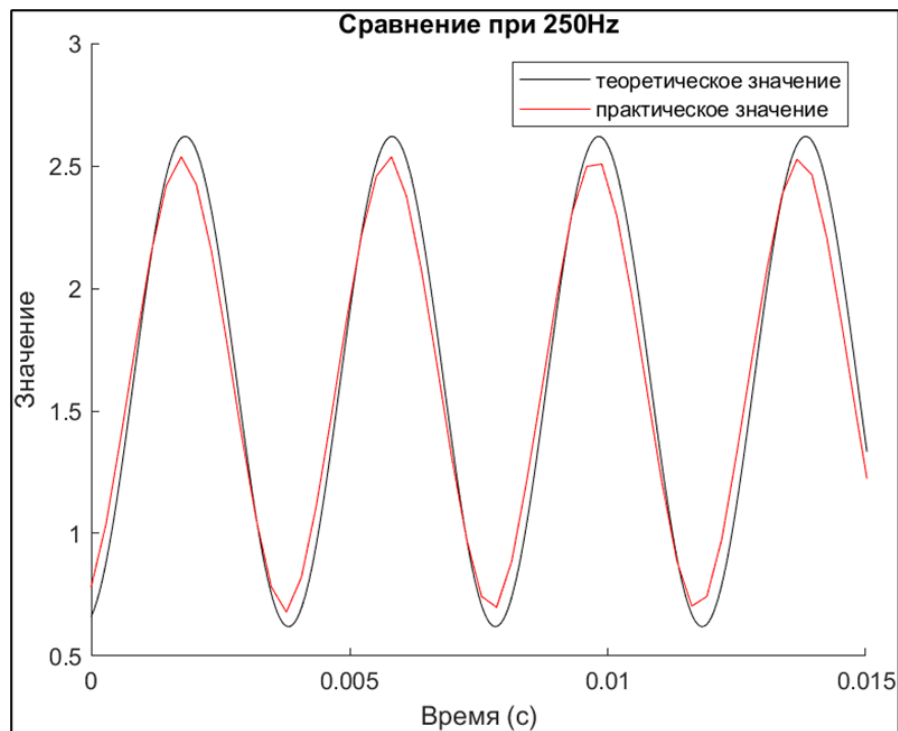


Рисунок 1 - Сигнал при 250Hz

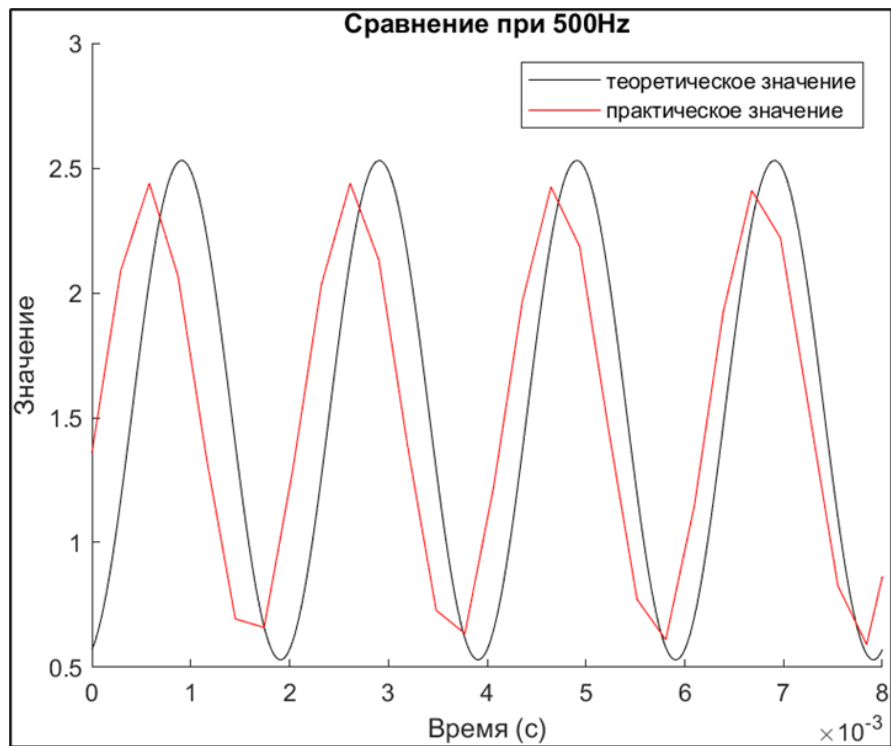


Рисунок 2 - Сигнал при 500Hz

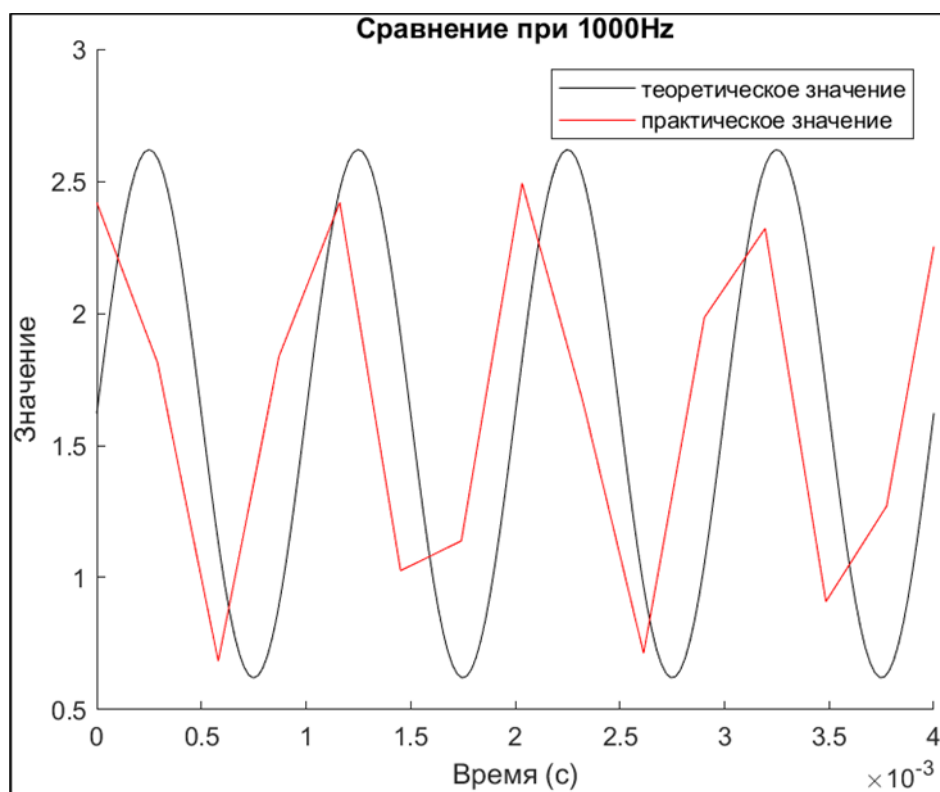


Рисунок 3 - Сигнал при 1000Hz

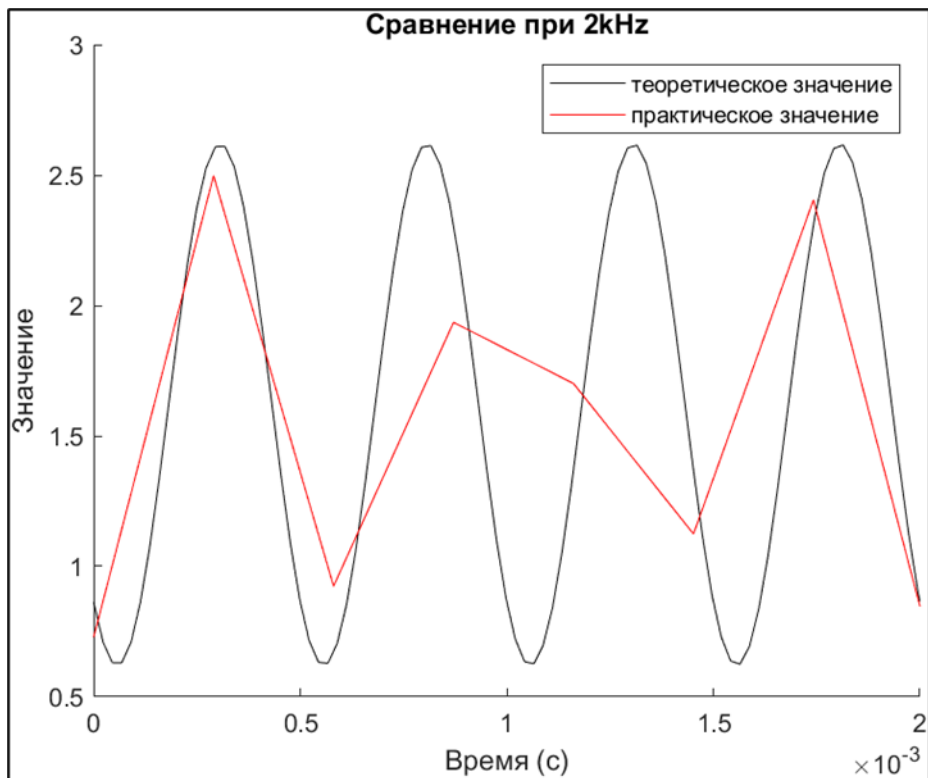


Рисунок 4 - Сигнал при 2kHz

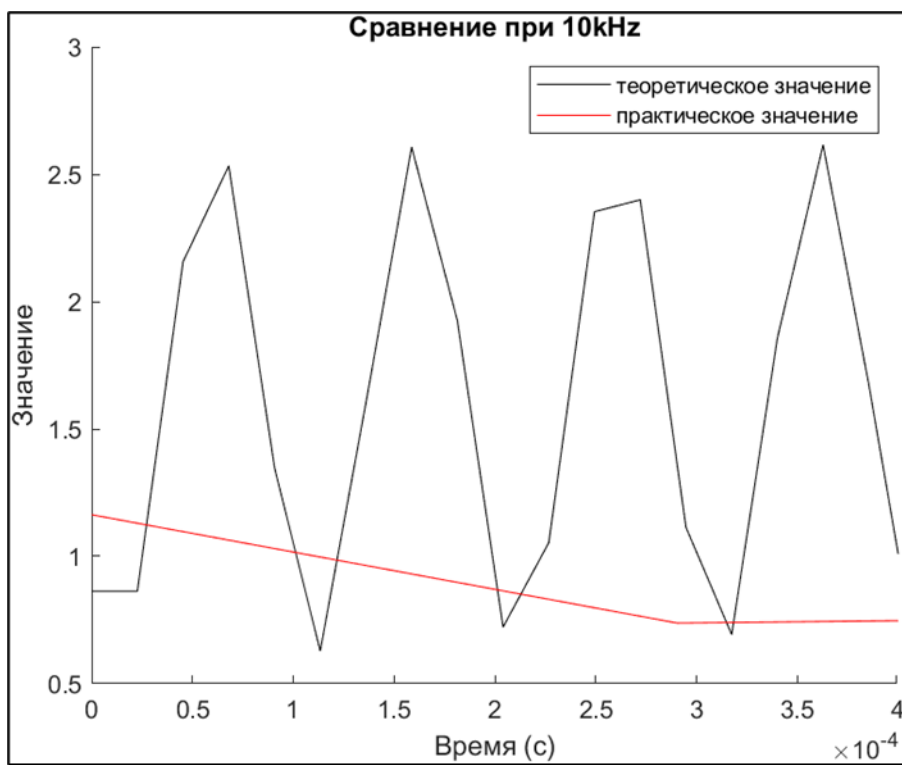


Рисунок 5 - Сигнал при 10kHz(1)

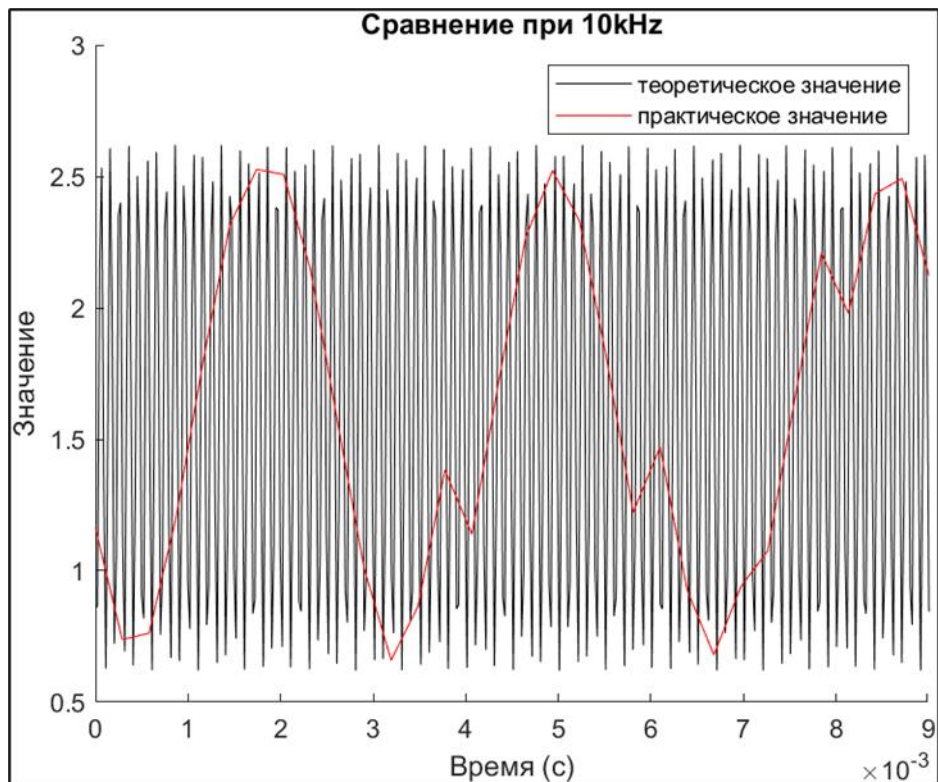


Рисунок 6 - Сигнал при 10kHz(2)

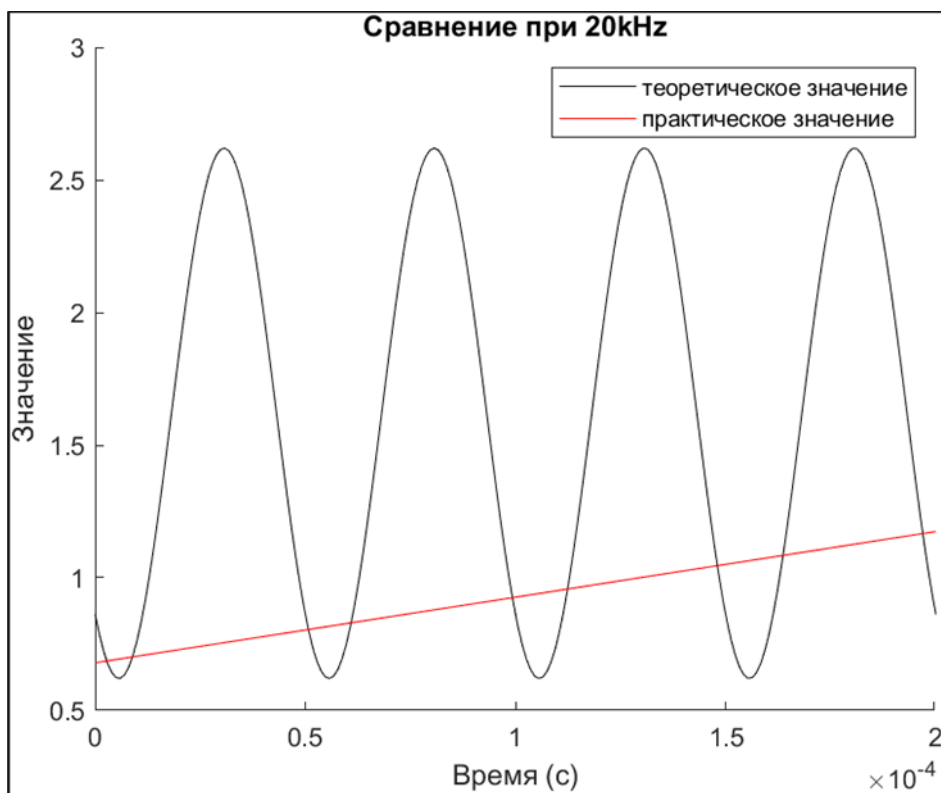


Рисунок 7 - Сигнал при 20kHz(1)

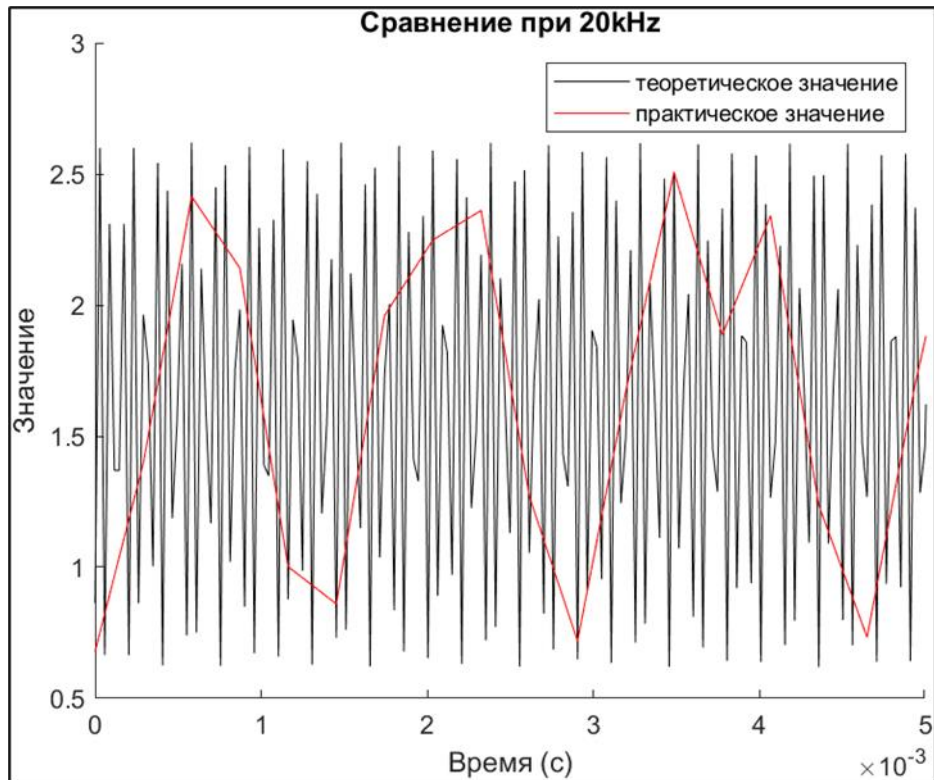


Рисунок 8 - Сигнал при 20kHz(2)

Графики синусоидального сигнала с задержкой:

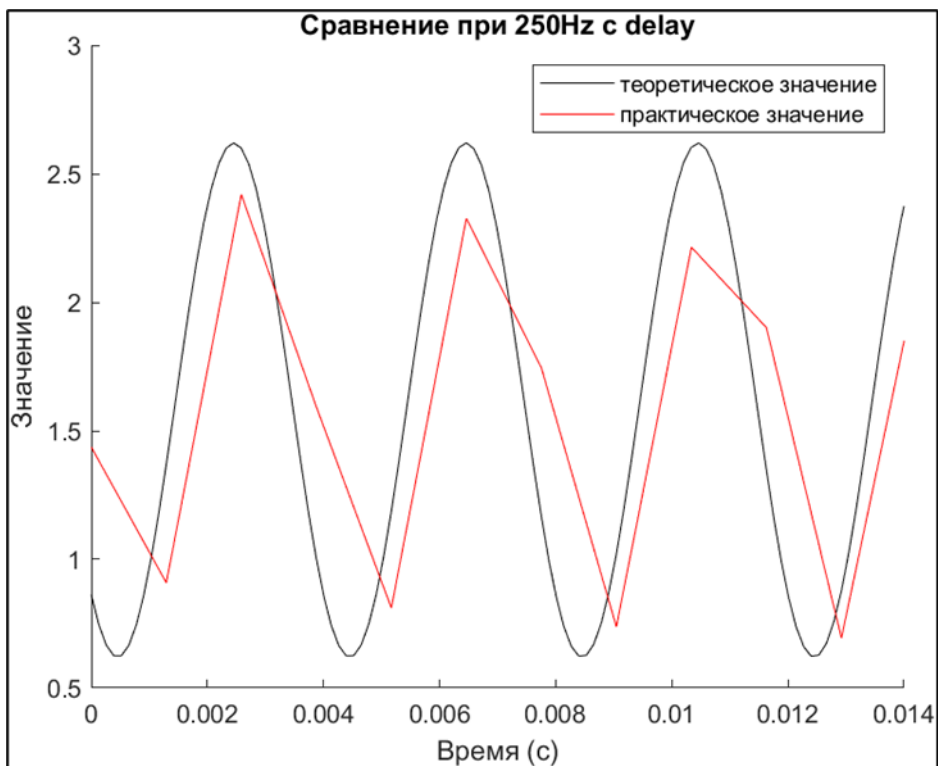


Рисунок 9 - Сигнал при 250Hz с задержкой



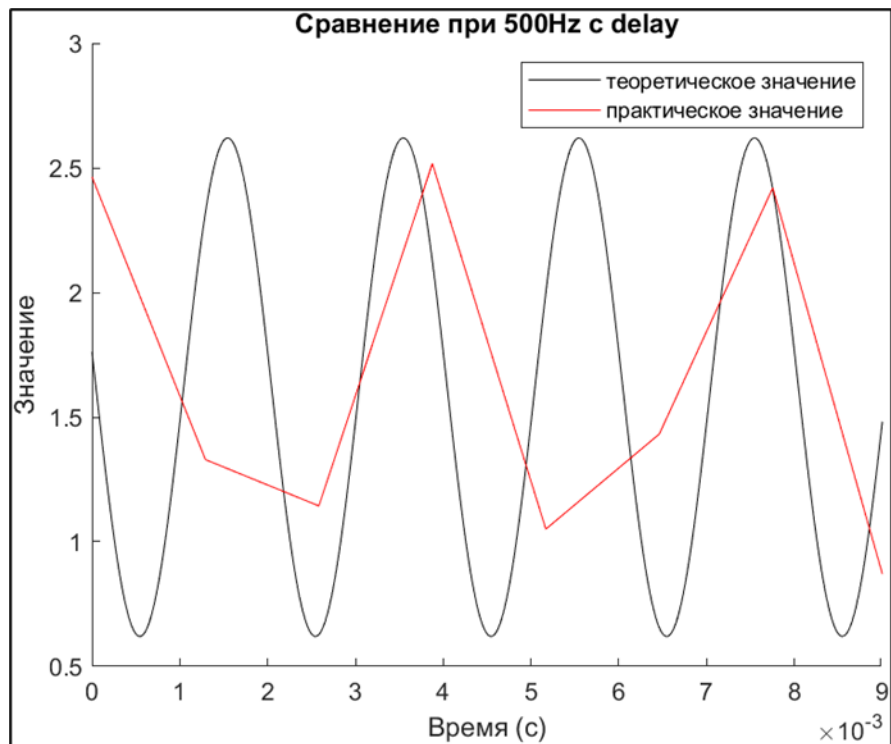


Рисунок 10 - Сигнал при 500Hz с задержкой

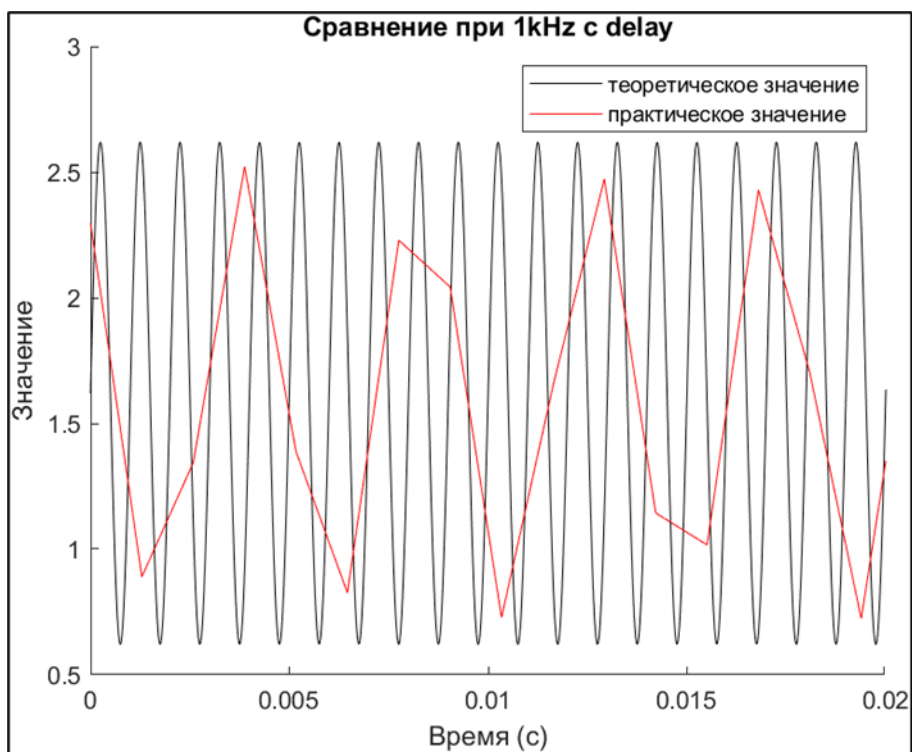


Рисунок 11 - Сигнал при 1000Hz с задержкой(1)

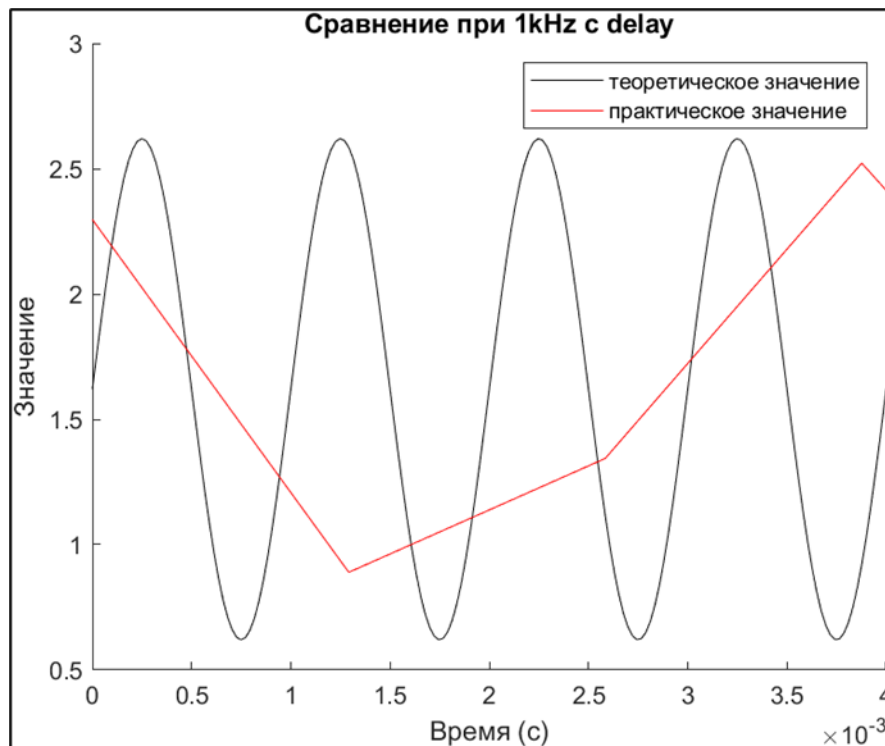


Рисунок 12 - Сигнал при 1000Hz с задержкой(2)

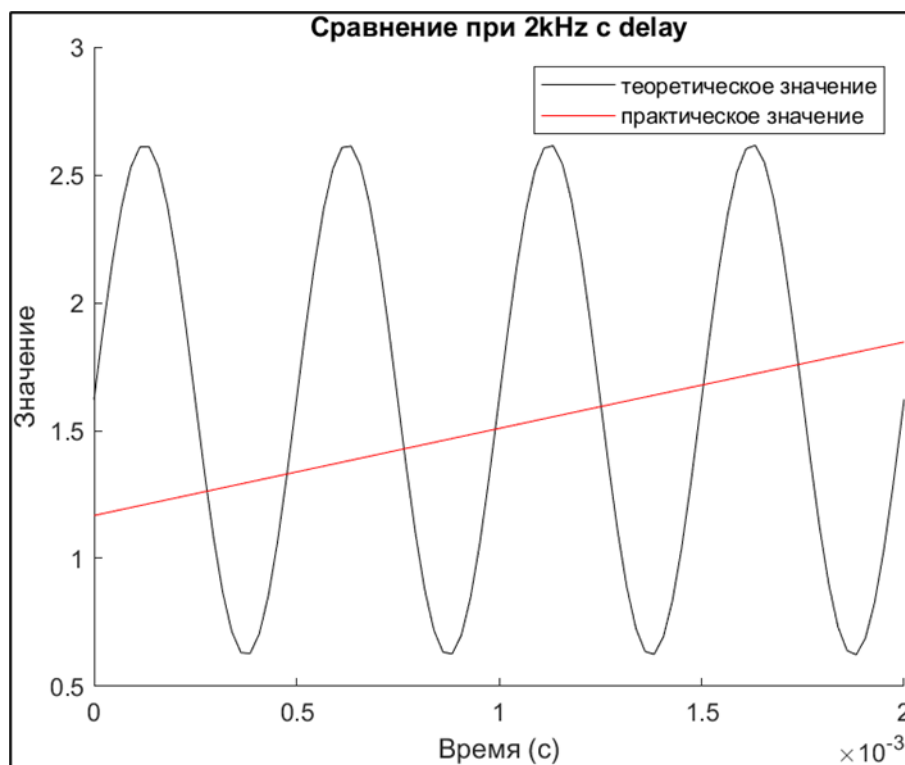


Рисунок 13 - Сигнал при 2kHz с задержкой(1)

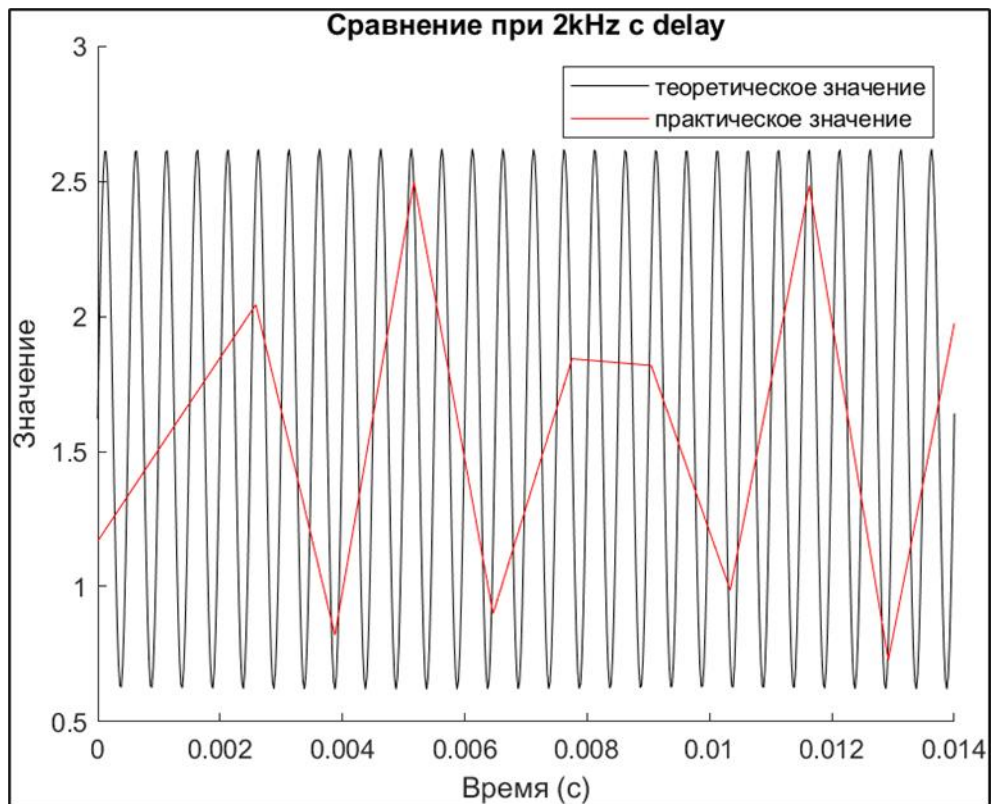


Рисунок 14 - Сигнал при 2kHz с задержкой(2)

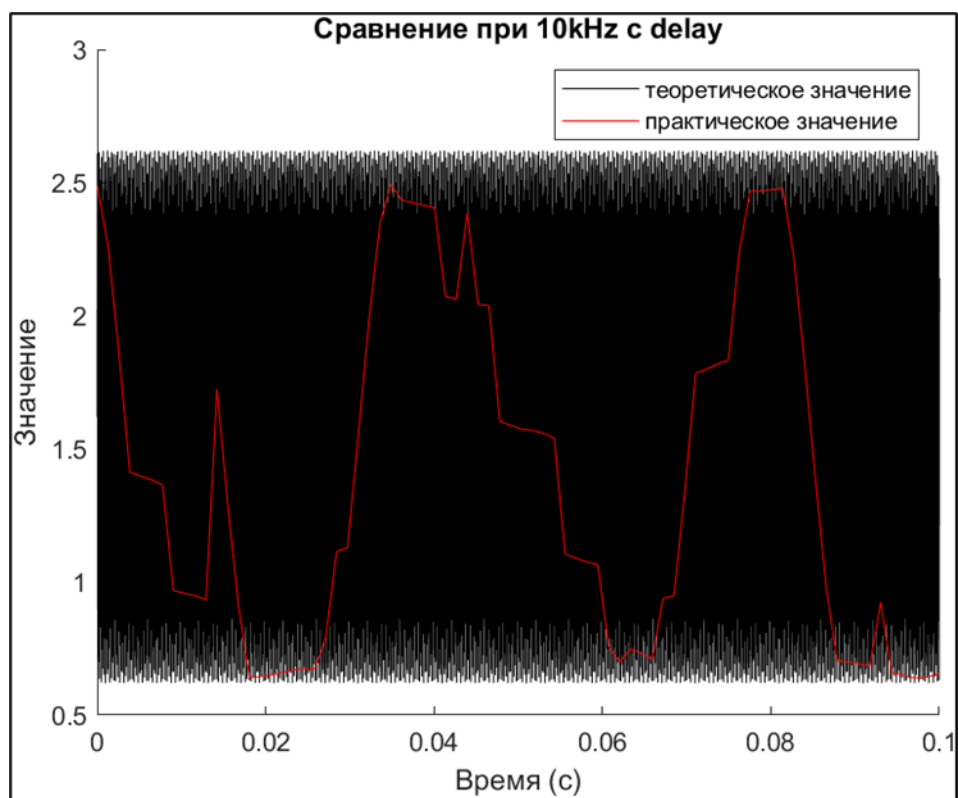


Рисунок 15 - Сигнал при 10kHz с задержкой(1)

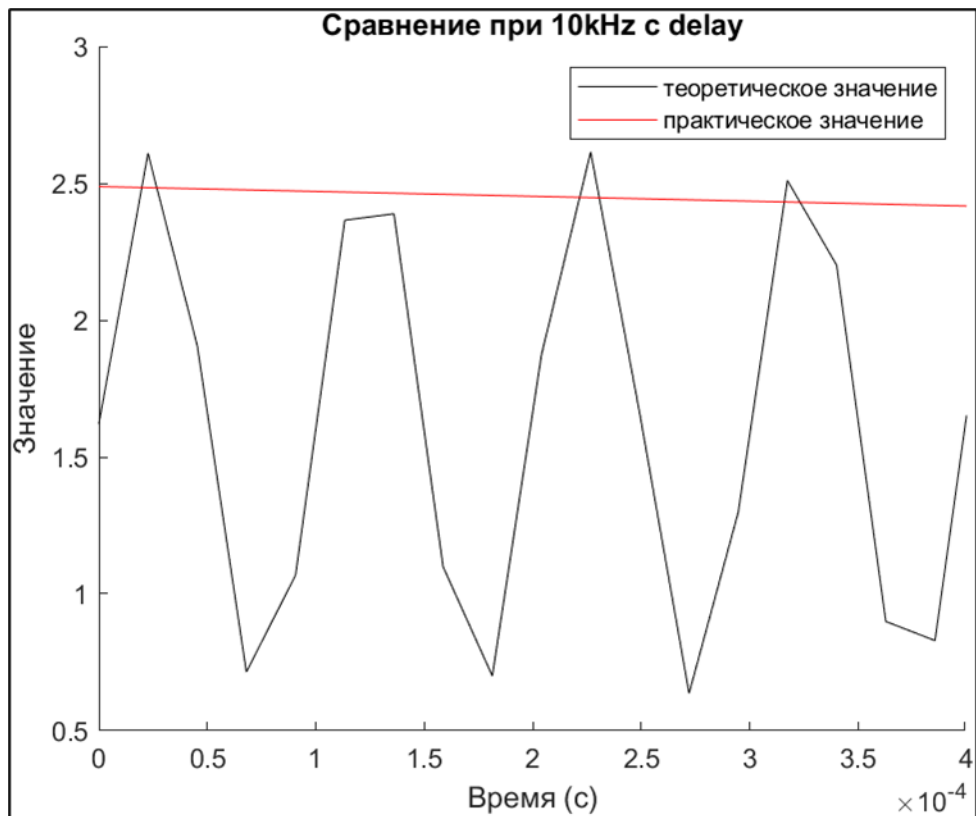


Рисунок 16 - Сигнал при 10kHz с задержкой(2)

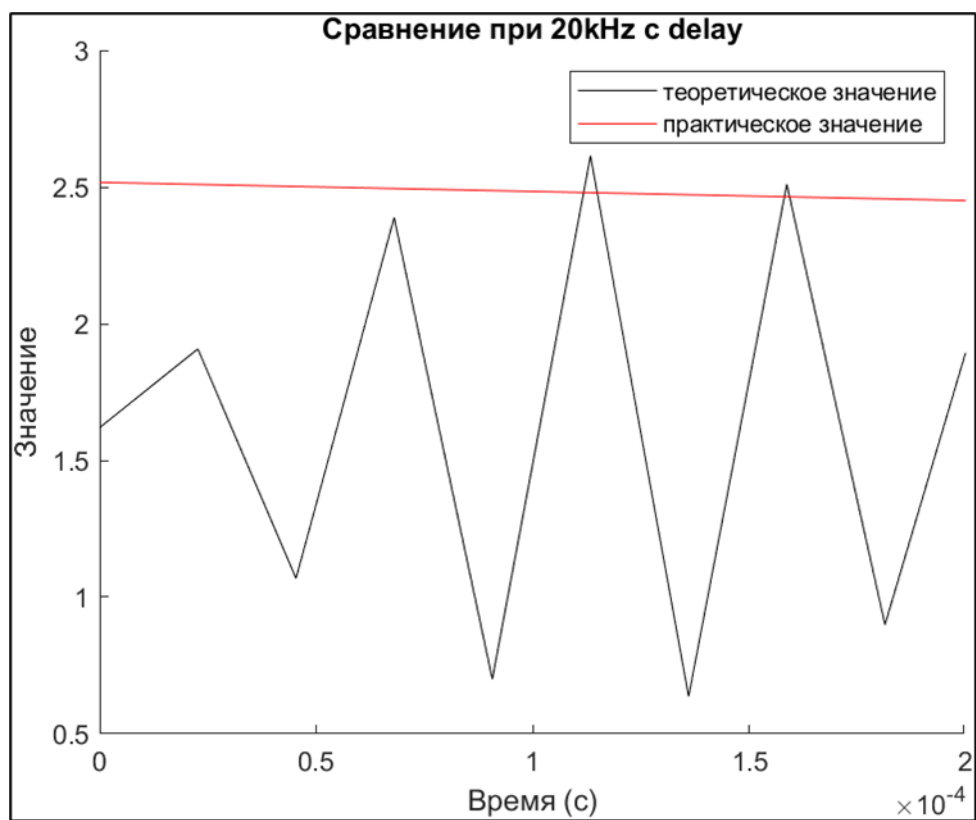


Рисунок 17 - Сигнал при 20kHz с задержкой(1)

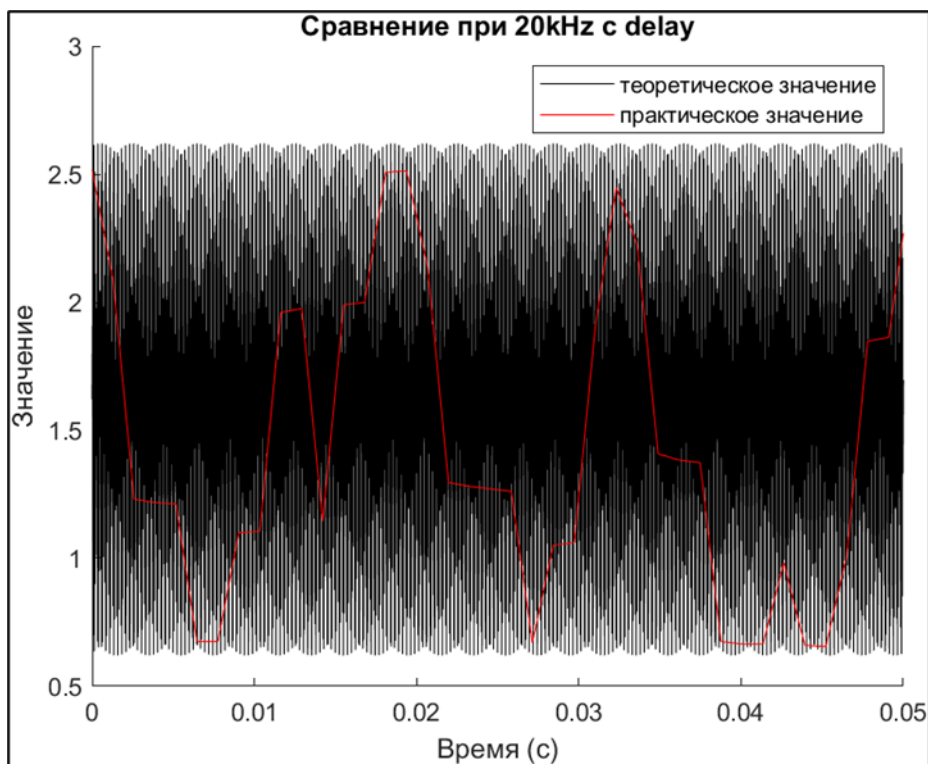


Рисунок 18 - Сигнал при 20kHz с задержкой(2)

Теорема Котельникова-Найквиста гласит о том, что непрерывный сигнал с ограниченным спектром можно точно восстановить по его дискретным отсчётам, если они были взяты с частотой дискретизации, превышающего максимальную частоту сигнала минимум в два раза.

Основываясь на данной теореме, мы провели анализ графиков синусоидального сигнала, которые мы получили в результате исследования.

#### **Анализ графиков синусоидального сигнала без задержки:**

Сигналы с частотами 250, 500, 1000 Гц отображаются четко, частоты значительно ниже частоты дискретизации, следовательно требования теоремы выполнены (частота дискретизации 3444 Гц).

Что касается графиков с частотами 2 кГц, 10 кГц и 20 кГц, то экспериментальные графики этих сигналов не совпадают с теоретическими. На графиках наблюдается эффект наложения спектров, что приводит к неверному восприятию сигналов. Практические сигналы отображаются с частотами, значительно ниже их реальных значений.

Сигналы с частотами до 1000 Гц включительно отображаются четко за счет соотношения частот, удовлетворяющих теореме Котельникова-Найквиста. В свою очередь сигналы с частотами 2 кГц, 10 кГц и 20 кГц искажаются из-за того, что значения не удовлетворяют условия теоремы. Из этого можно сделать вывод, что для точного восстановления сигнала важно соблюдение теоремы Котельникова-Найквиста.

#### **Анализ графиков синусоидального сигнала с задержкой:**

По аналогии с анализом сигналов без задержки, мы оцениваем графики сигналов с задержкой в 1 секунду. Частота дискретизации равна 774 Гц. Сигнал на частоте 250 Гц отображается без искажений, остальные отображаются некорректно, из-за несоблюдения условия теоремы Котельникова-Найквиста.

АЧХ и ФЧХ синусоидального сигнала без задержки:

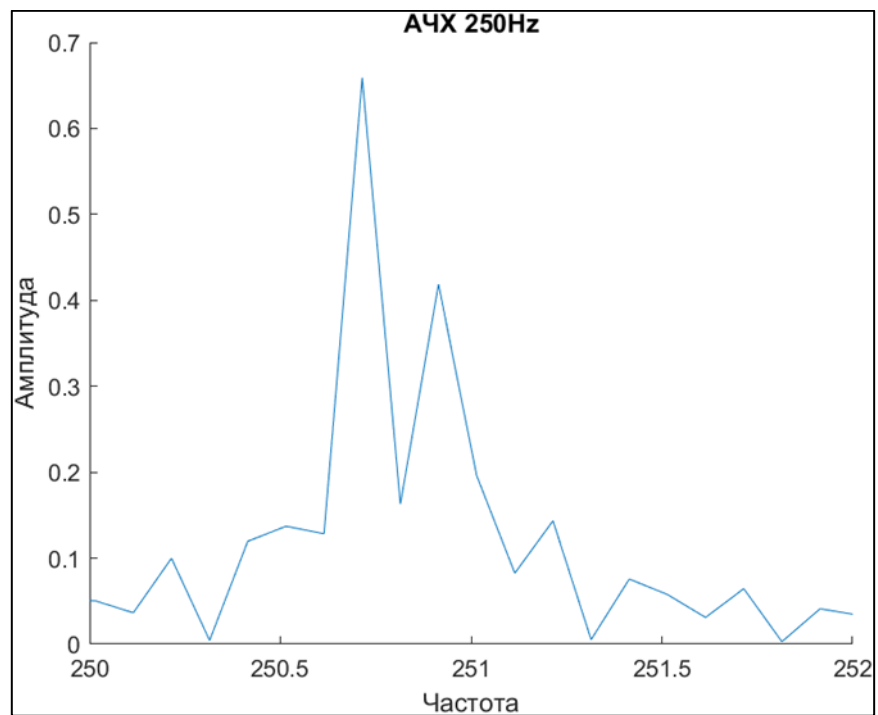


Рисунок 19 – АЧХ сигнала при 250Hz

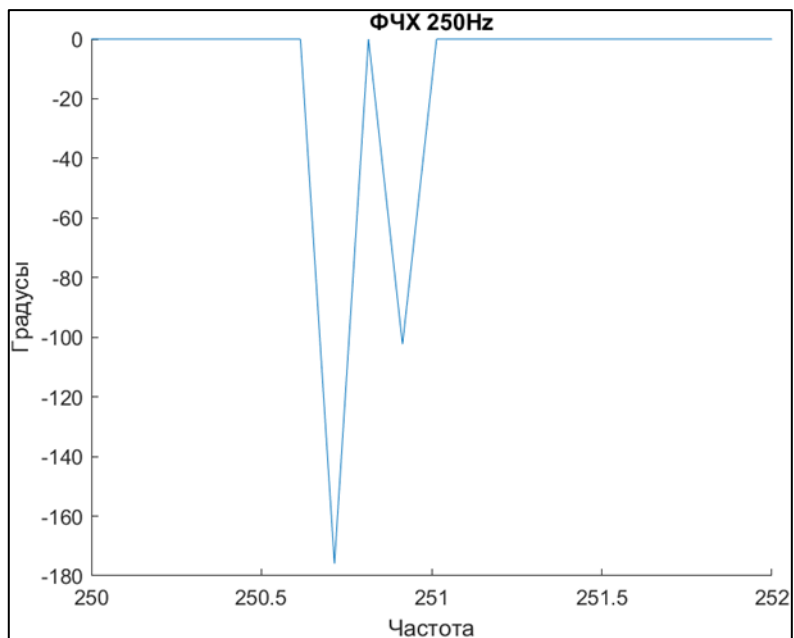


Рисунок 20 – ФЧХ сигнала при 250Hz

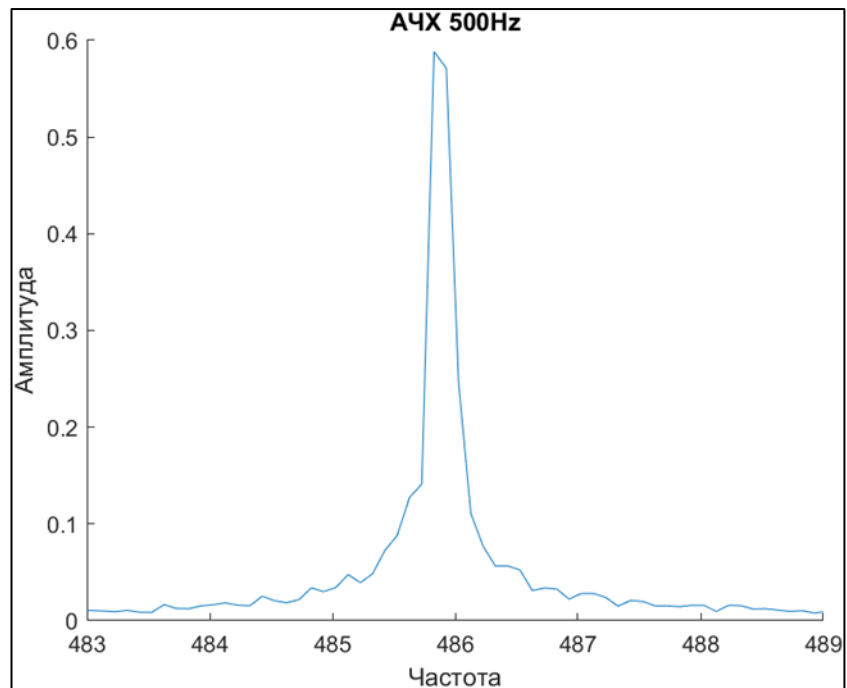


Рисунок 21– АЧХ сигнала при 500Hz

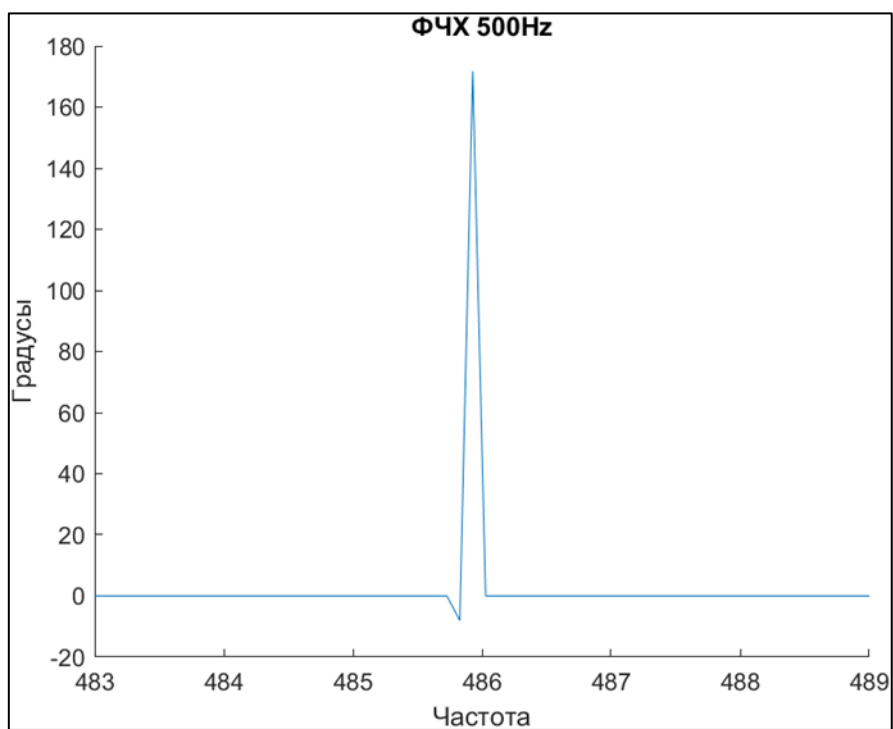


Рисунок 22 – ФЧХ сигнала при 250Hz



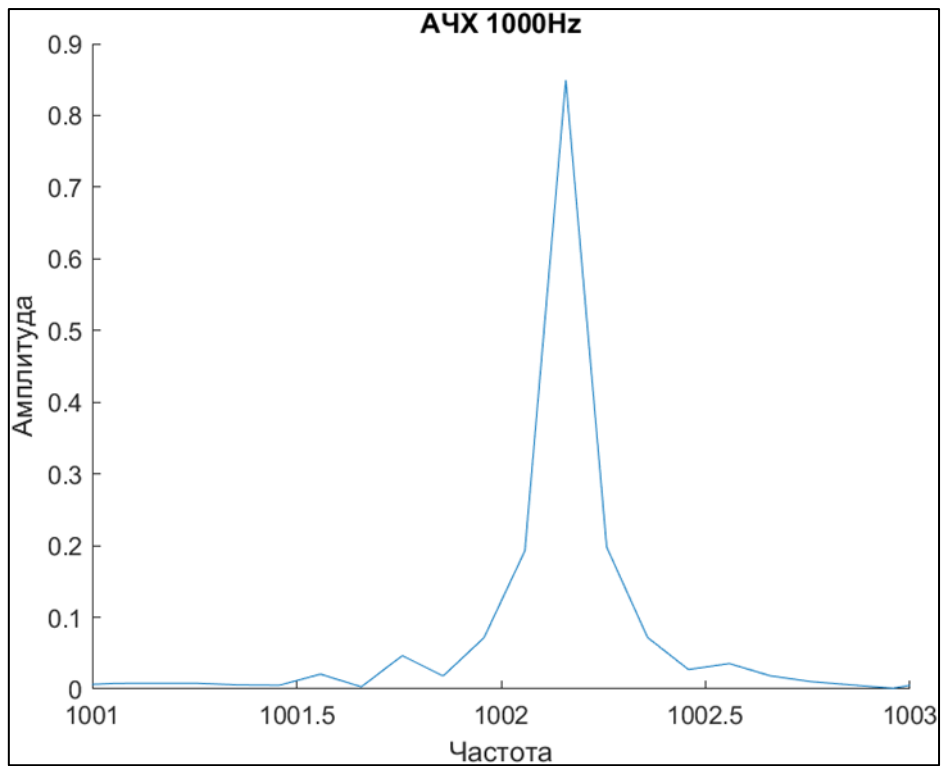


Рисунок 23 – АЧХ сигнала при 1000Hz

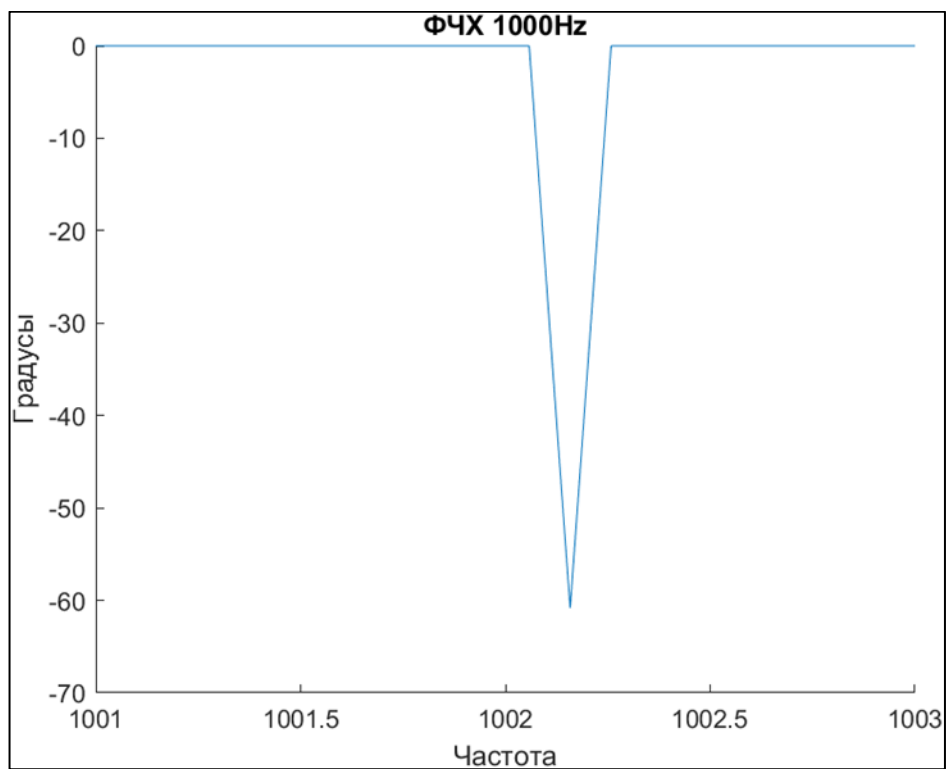


Рисунок 24 – ФЧХ сигнала при 1000Hz

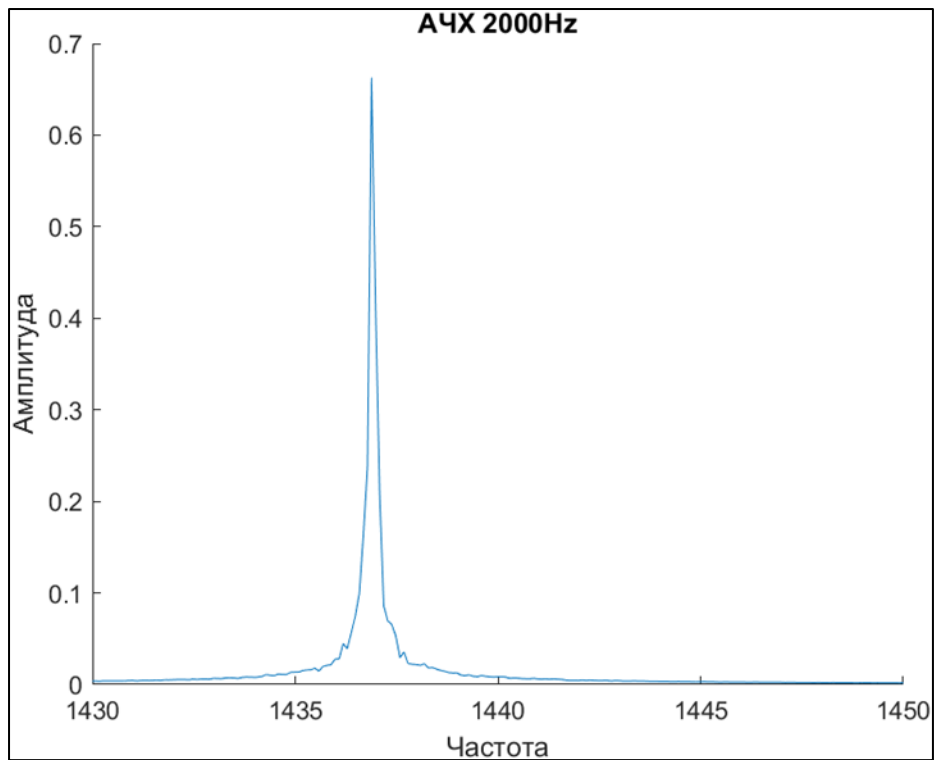


Рисунок 25 – АЧХ сигнала при 2kHz

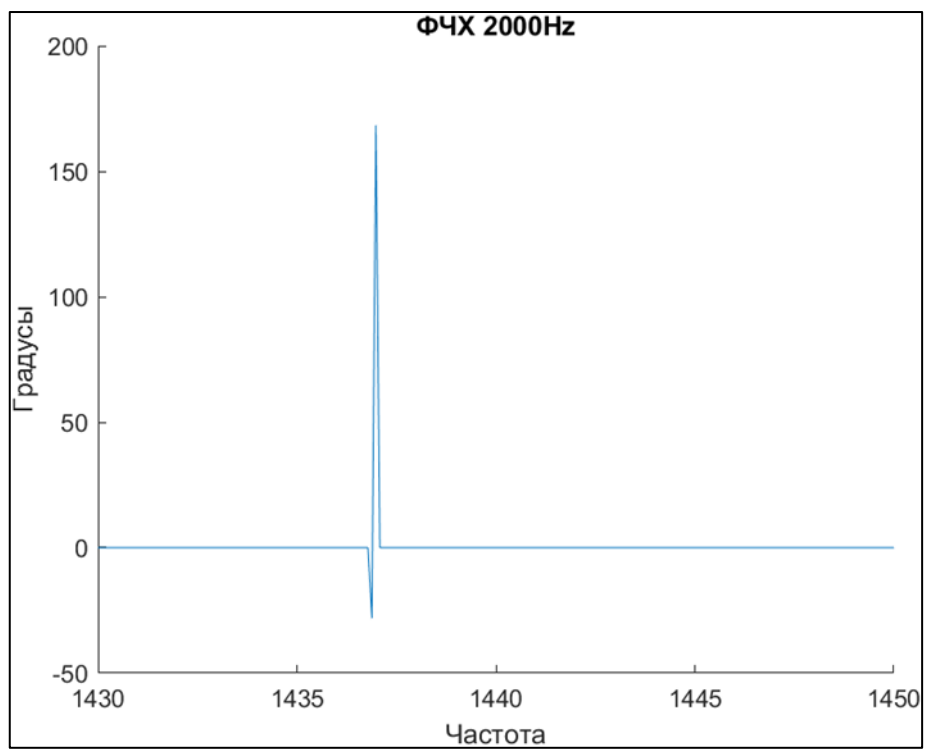


Рисунок 26 – ФЧХ сигнала при 2kHz

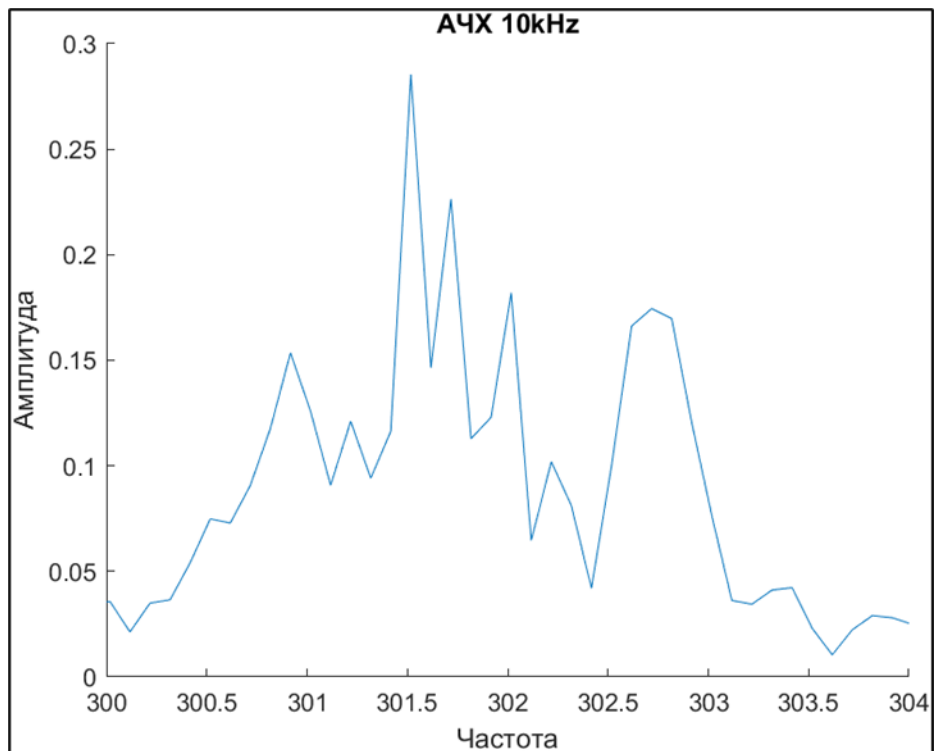


Рисунок 27 – АЧХ сигнала при 10kHz

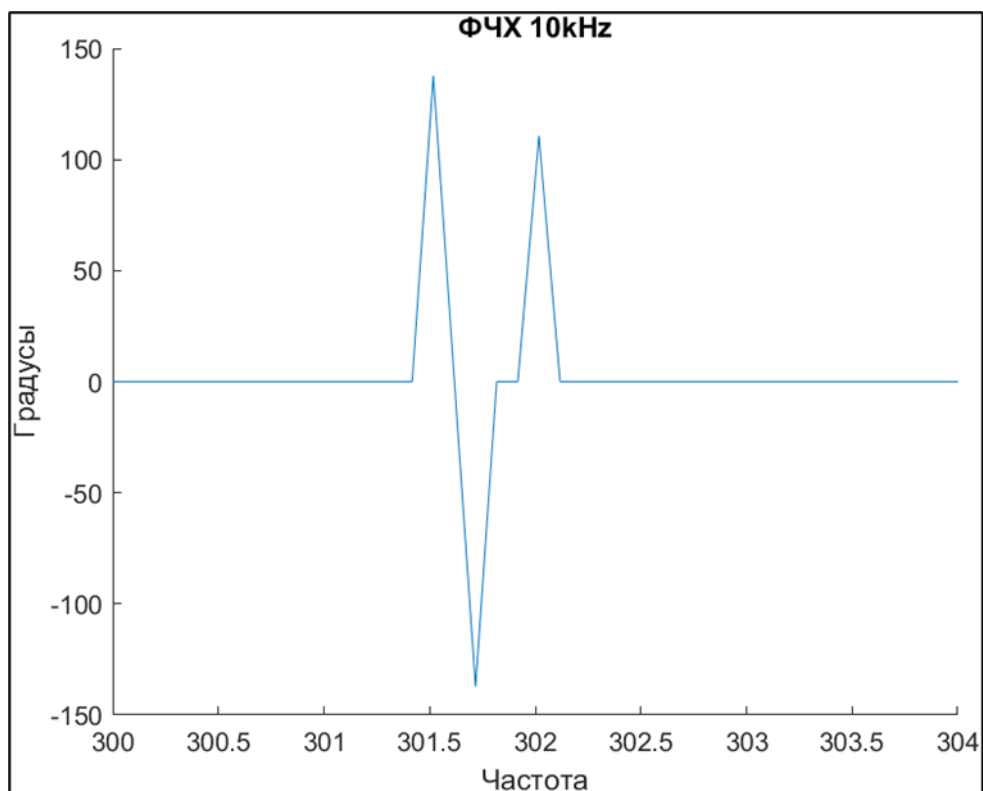


Рисунок 28 – ФЧХ сигнала при 10kHz

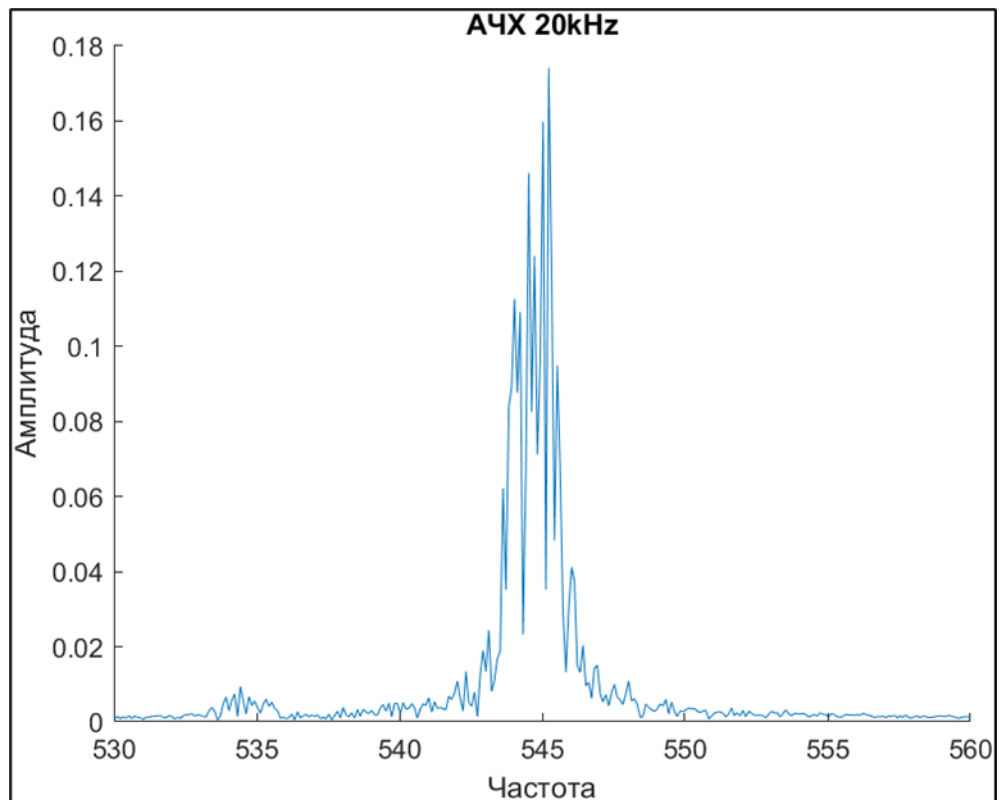


Рисунок 29 – АЧХ сигнала при 20kHz

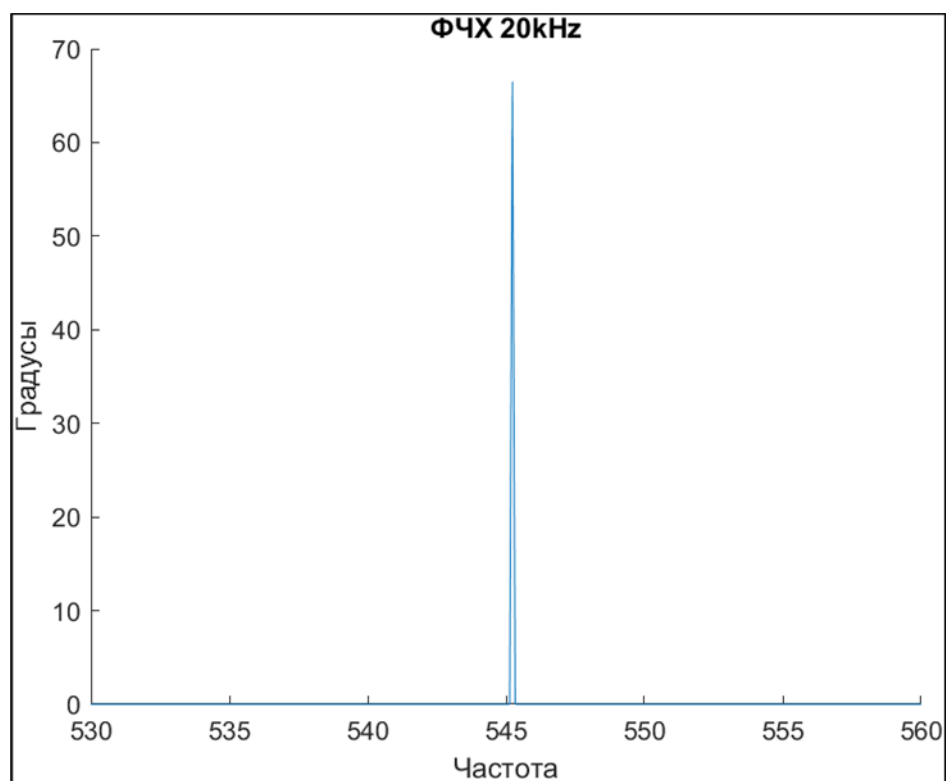


Рисунок 30 – ФЧХ сигнала при 20kHz

АЧХ и ФЧХ синусоидального сигнала с задержкой:

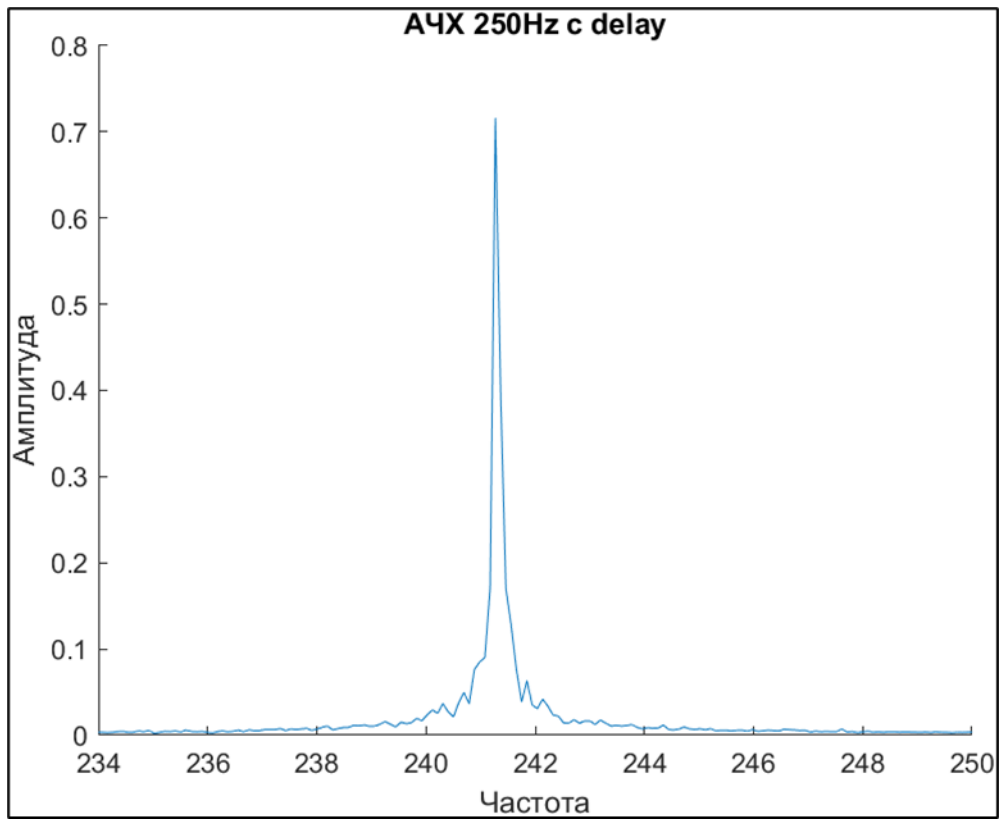


Рисунок 31 – АЧХ сигнала при 250Hz с задержкой

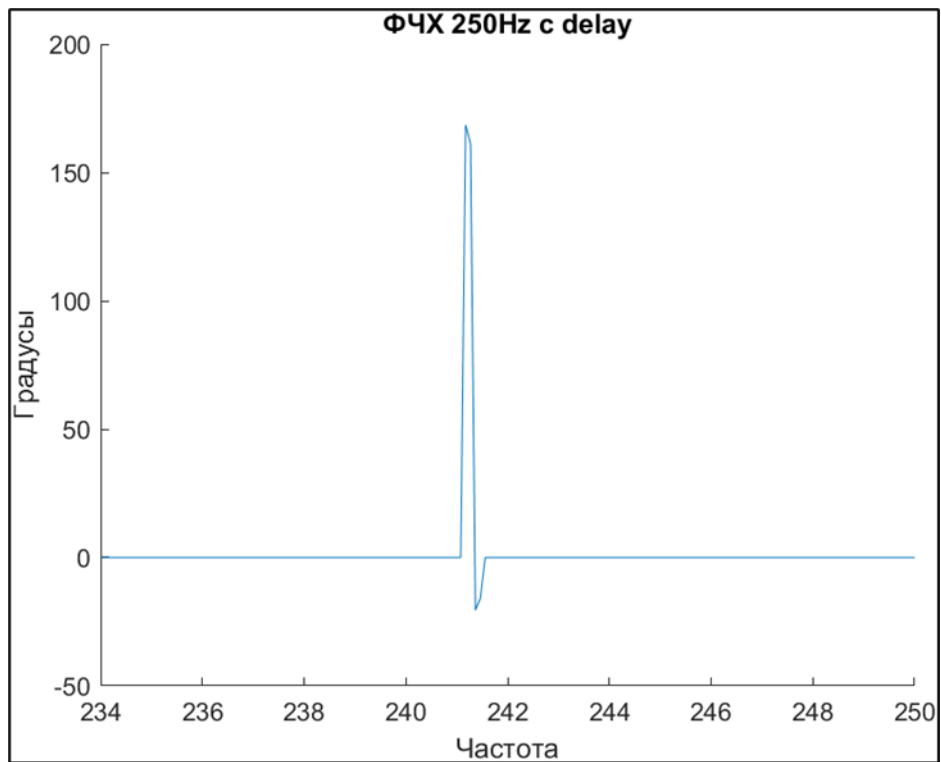


Рисунок 32 – ФЧХ сигнала при 250Hz с задержкой

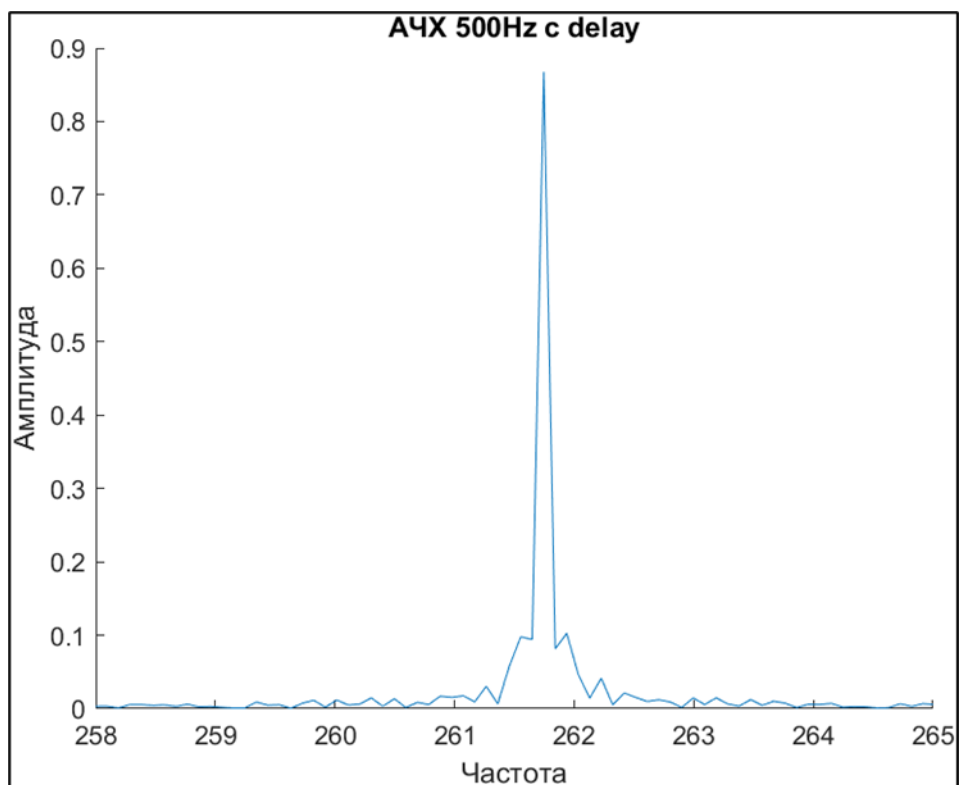


Рисунок 33 – АЧХ сигнала при 500Hz с задержкой

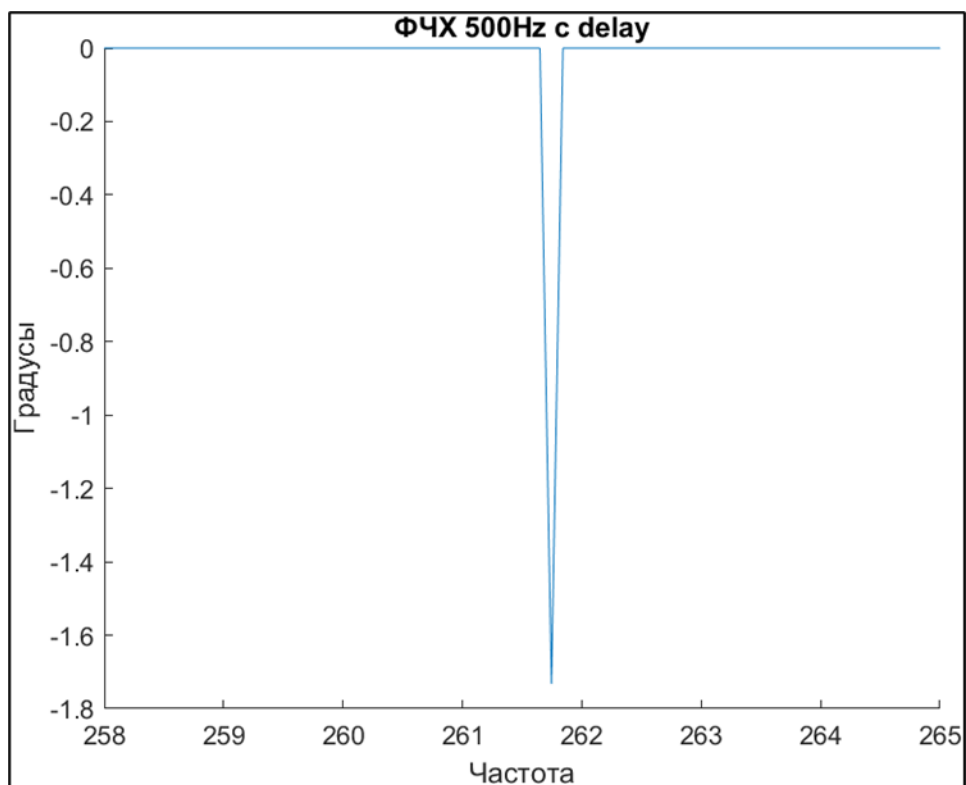


Рисунок 34 – ФЧХ сигнала при 500Hz с задержкой

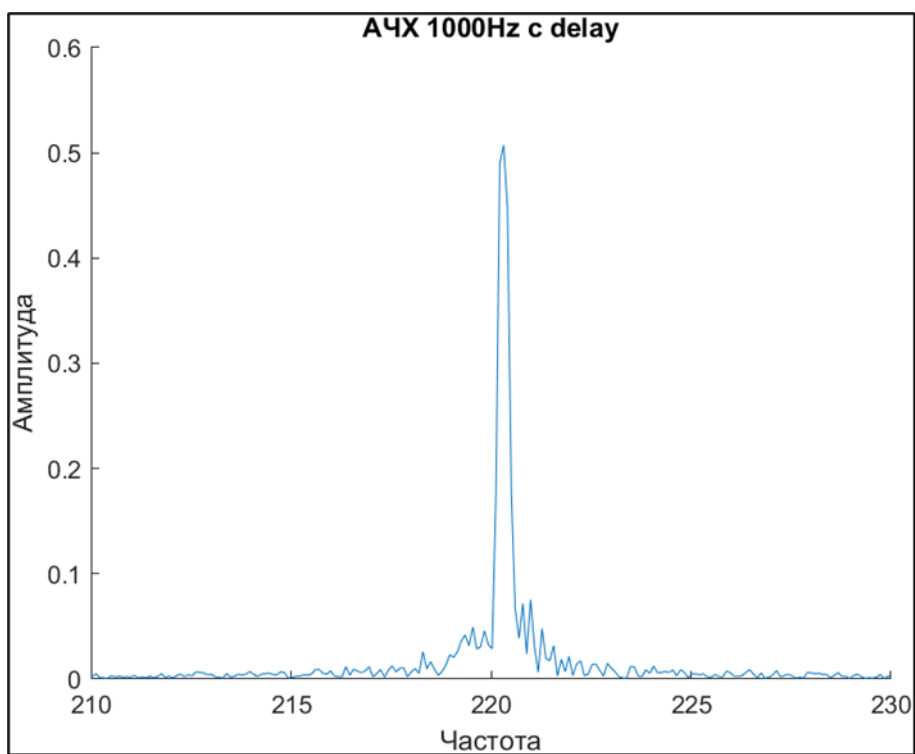


Рисунок 35 – АЧХ сигнала при 100Hz с задержкой

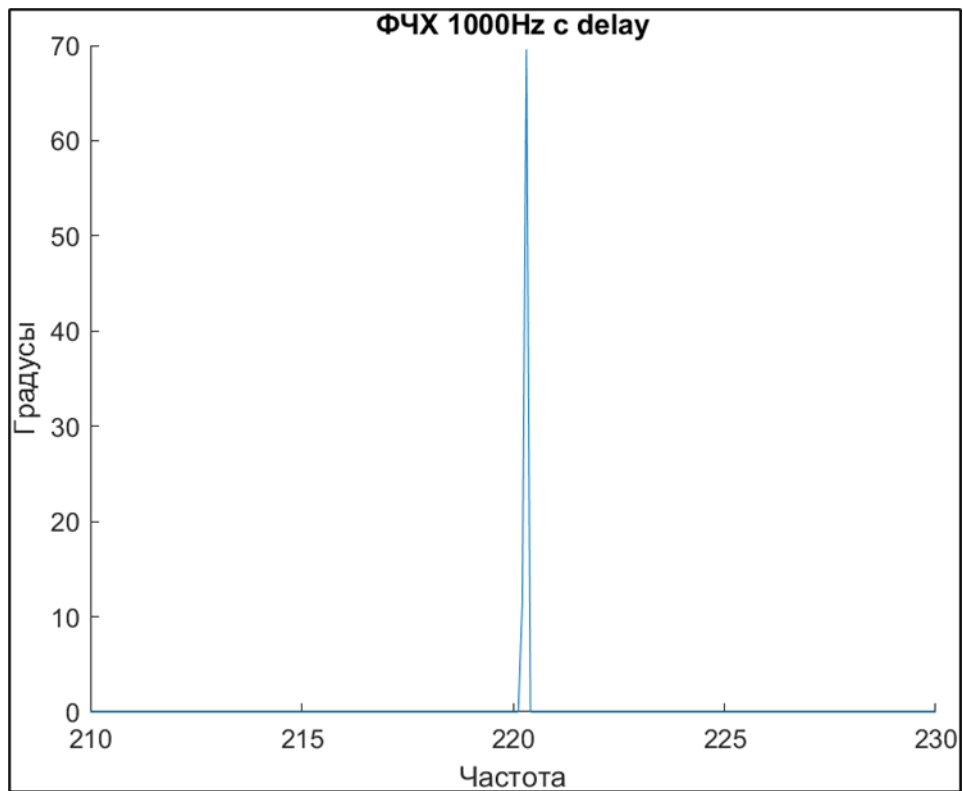


Рисунок 36 – ФЧХ сигнала при 1000Hz с задержкой

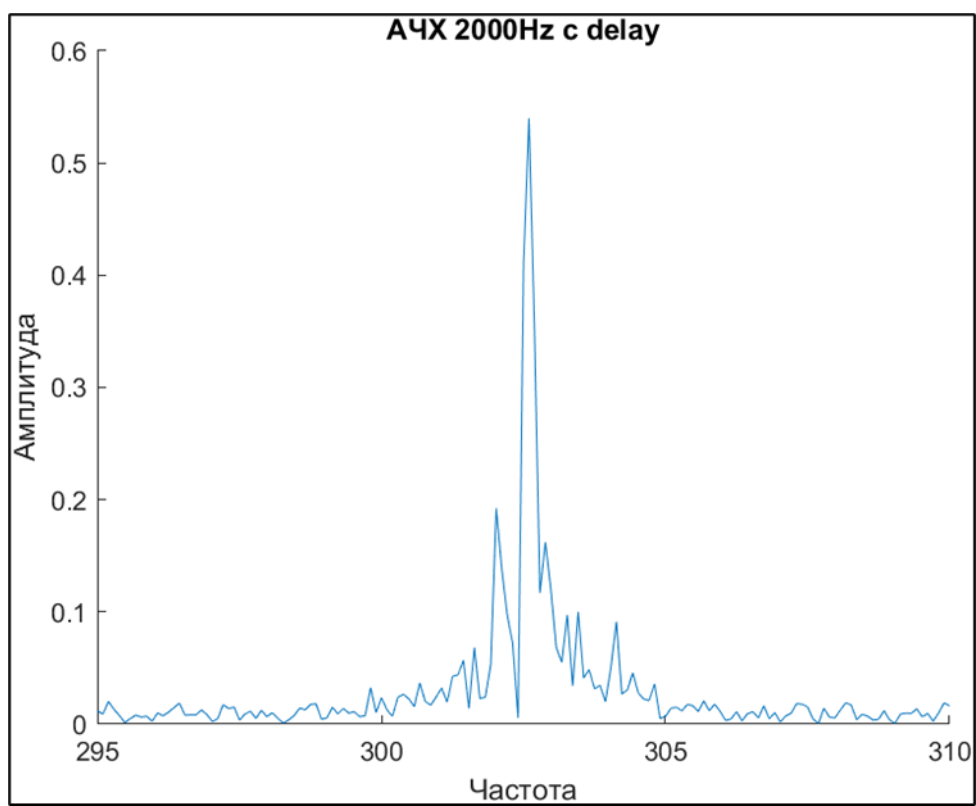


Рисунок 37 – АЧХ сигнала при 2kHz с задержкой



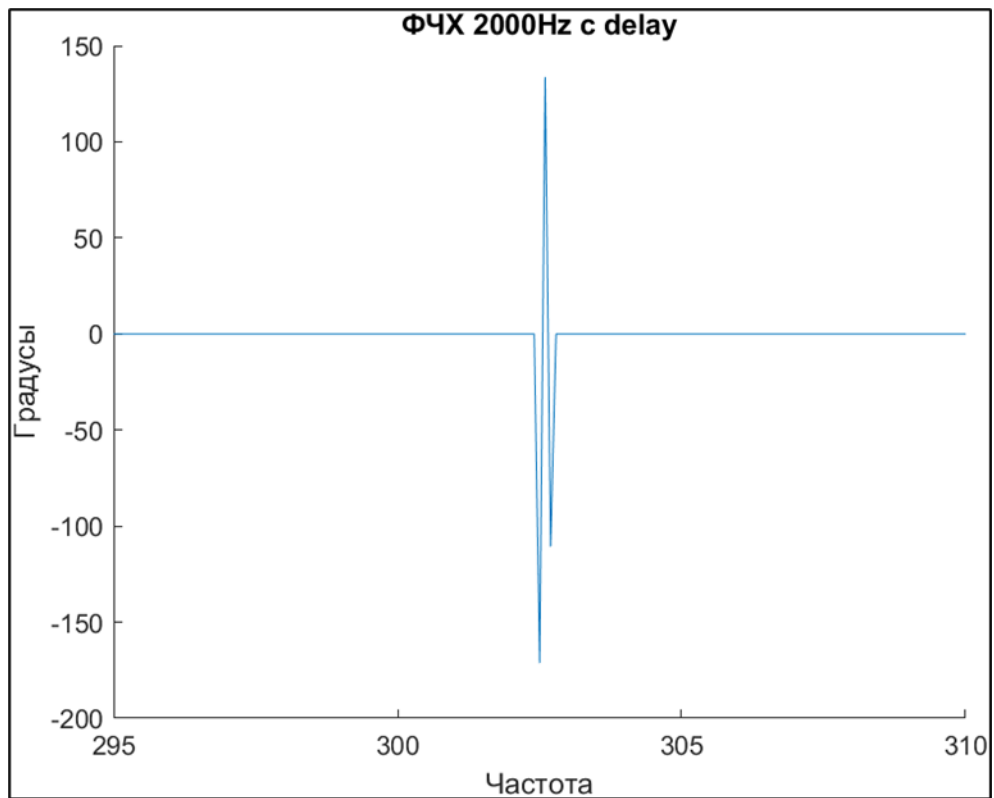


Рисунок 38 – ФЧХ сигнала при 2kHz с задержкой

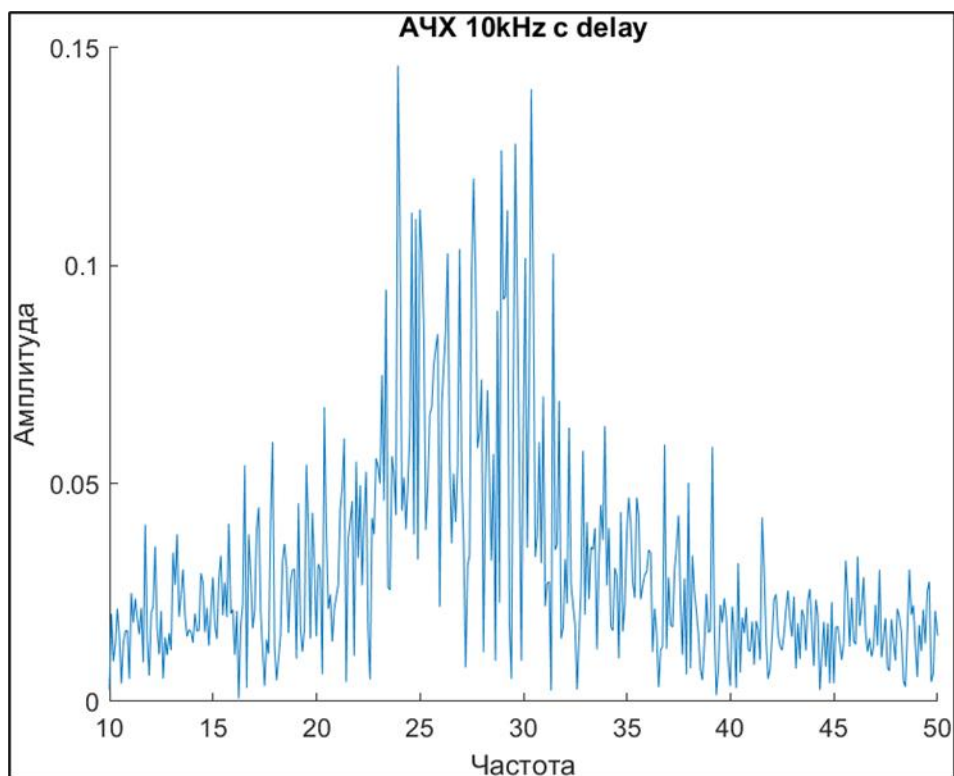


Рисунок 39 – АЧХ сигнала при 10kHz с задержкой

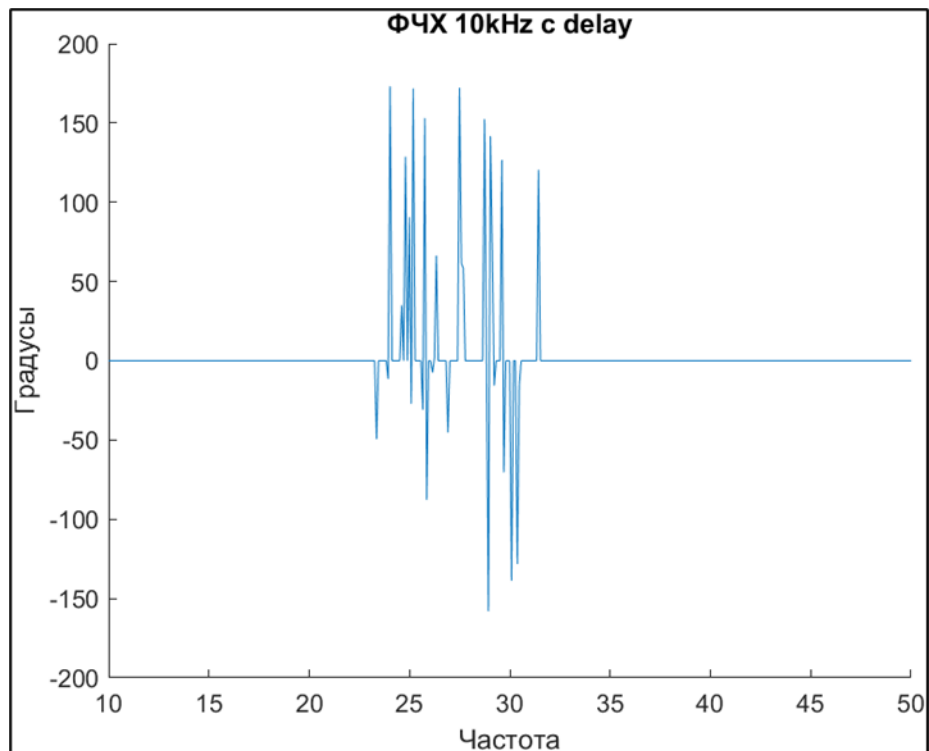


Рисунок 40 – ФЧХ сигнала при 10kHz с задержкой

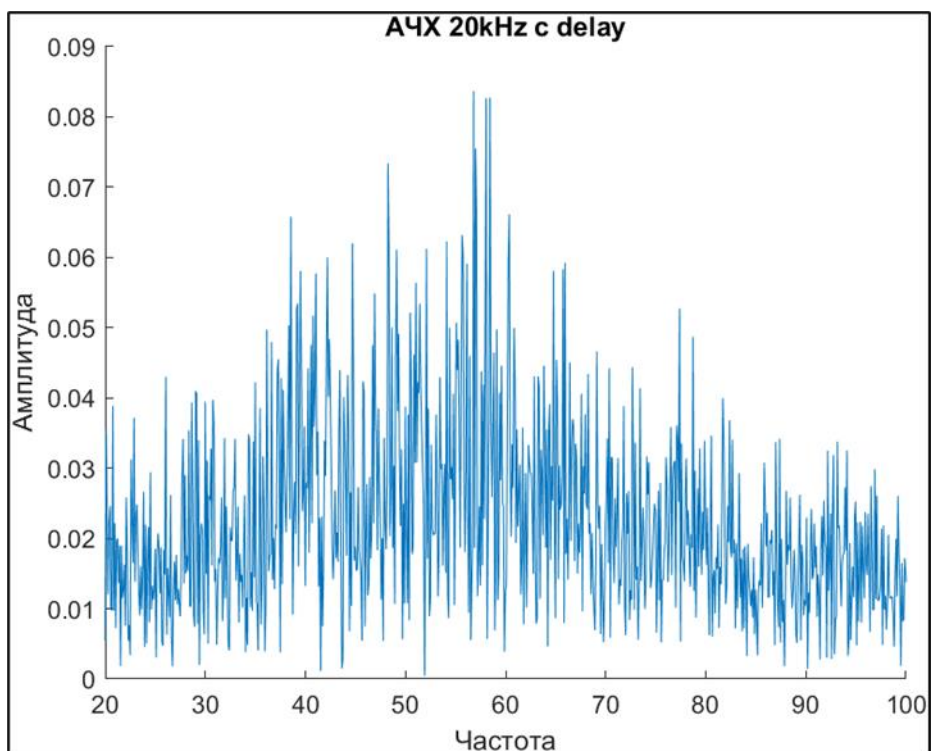


Рисунок 41 – АЧХ сигнала при 20kHz с задержкой

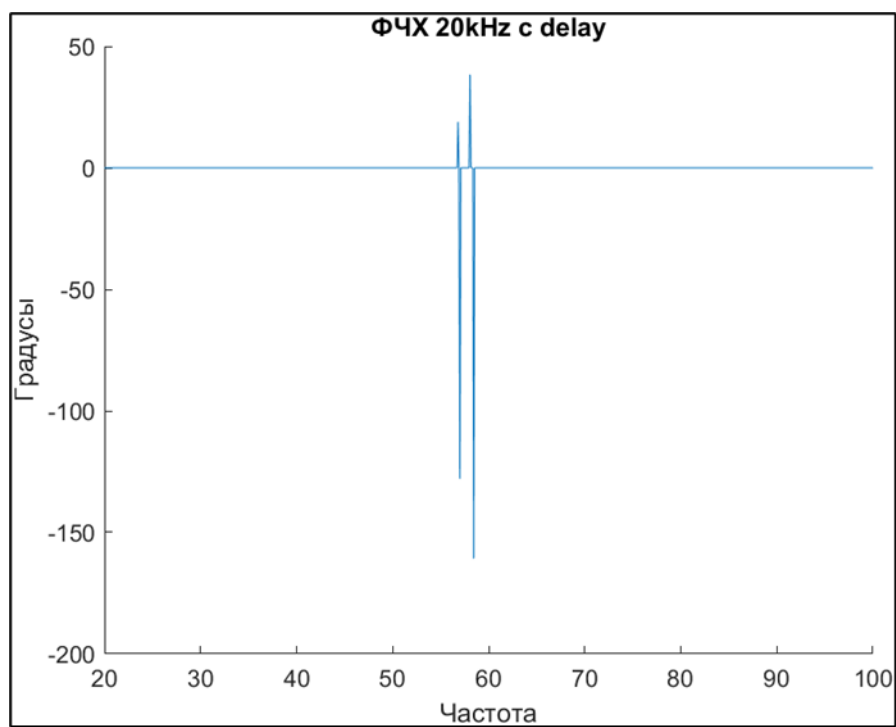


Рисунок 42 – ФЧХ сигнала при 20kHz с задержкой

## 6. Проверка свойств преобразований Фурье при помощи символьных вычислений:

### 1) Свойство линейности

Пусть даны непериодические сигналы  $f(t)$  и  $g(t)$ , а также их спектральные плотности  $F(w)$  и  $G(w)$  соответственно.  $f(t)$  и  $g(t)$  — абсолютно интегрируемые сигналы, тогда:

$$S(w) = F(af(t) + bg(t)) = aF(w) + bG(w)$$

```
>> syms a b f(x) g(x)
>> fourier(a*f(x)+b*g(x));
>> ans

ans =

a*fourier(f(x), x, w) + b*fourier(g(x), x, w)
```

Рисунок 43 – Доказательство линейности

### 2) Свойство временного сдвига

Рассмотрим сигнал  $s(t) = f(t - a)$  как результат временного сдвига исходного сигнала  $f(t)$  на произвольную величину  $a$ . Тогда преобразование Фурье сигнала имеет вид:

$$S(w) = F(f(t - a)) = e^{-jwa}F(w)$$

Таким образом, задержка сигнала во времени приводит к изменению фазы его спектральной плотности без изменения амплитуды.

```
>> fourier(f(x-a))

ans =

exp(-a*w*1i)*fourier(f(x), x, w)
```

Рисунок 44 - Доказательство временного сдвига

### 3) Свойство частотного сдвига

Рассмотрим сигнал  $s(t) = f(t)e^{jat}$  как результат умножения исходного сигнала  $f(t)$  на комплексную экспоненту с частотой  $a$ . Тогда преобразование Фурье сигнала имеет вид:

$$S(\omega) = F(f(t)e^{jat}) = F(\omega - a)$$

Таким образом, умножение сигнала на комплексную экспоненту с частотой  $a$  приводит к сдвигу его спектральной плотности на  $a$ .

```
>> ifourier(f(x-a))

ans =

(exp(a*t*1i)*fourier(f(x), x, -t))/(2*pi)
```

Рисунок 45 - Доказательство частотного сдвига

#### 4) Свойство масштабирования

Рассмотрим сигнал  $s(t) = f(at)$  как результат масштабирования исходного сигнала  $f(t)$  с коэффициентом  $a$ . Тогда преобразование Фурье сигнала имеет вид:

$$S(\omega) = |a|^{-1} F(\omega/a)$$

Таким образом, масштабирование сигнала во времени приводит к обратному масштабированию его спектральной плотности по частоте.

```
>> fourier(f(a*x))

ans =

fourier(f(x), x, w/a)/abs(a)
```

Рисунок 46 - Доказательство масштабирования

#### 5) Свойство дифференцирования

Рассмотрим сигнал  $s(t) = df(t)/dt$  как результат дифференцирования исходного сигнала  $f(t)$ . Тогда преобразование Фурье сигнала имеет вид:

$$S(\omega) = F(df(t)/dt) = j\omega F(\omega)$$

Таким образом, дифференцирование сигнала во времени эквивалентно умножению его спектральной плотности на  $j\omega$ .

```
>> fourier(diff(f(x)))

ans =

w*fourier(f(x), x, w)*1i
```

Рисунок 47 - Доказательство дифференцирования

### 6) Свойство дифференцирования

Рассмотрим сигнал  $s(t) = t*f(t)$  как результат перемножения  $t$  и сигнала  $f(t)$ . Тогда преобразование Фурье сигнала имеет вид:

$$S(\omega) = F(t*f(t)) = i * df(t)/dt$$

```
>> ifourier(i*diff(fourier(f(x))))  
  
ans =  
  
x*f(x)
```

Рисунок 48 - Доказательство дифференцирования

### 7) Свойство свертки

Рассмотрим сигнал  $s(t) = (f*g)(t)$  как результат умножения двух сигналов  $f(t)$  и  $g(t)$ . Тогда преобразование Фурье сигнала имеет вид:

$$S(\omega) = F((f*g)(t)) = \sqrt{2\pi} * F(\omega) * G(\omega)$$

Таким образом, преобразование Фурье произведения двух сигналов равно произведению их спектральных плотностей, умноженной на  $\sqrt{2\pi}$ .

### 8) Свойство умножения

Рассмотрим сигнал  $s(t) = f(t)g(t)$  как результат умножения двух сигналов  $f(t)$  и  $g(t)$ . Тогда преобразование Фурье сигнала имеет вид:

$$S(\omega) = F(f(t)g(t)) = (F * G)(\omega) / \sqrt{2\pi}$$

Таким образом, преобразование Фурье произведения двух сигналов равно свертке их спектральных плотностей, деленной на  $\sqrt{2\pi}$ .

### 9) Преобразование Фурье дельта-функции Дирака

Рассмотрим сигнал  $s(t) = \delta(t)$ . Тогда преобразование Фурье сигнала имеет вид:

$$S(\omega) = F(\delta(t)) = 1/\sqrt{2\pi}$$

Преобразование Фурье дельта-функции Дирака  $\delta(t)$  равно константе  $1/\sqrt{2\pi}$ . Это означает, что дельта-функция, которая представляет собой

идеальный импульс в момент времени  $t = 0$ , имеет равномерный спектр по всем частотам.

```
>> fourier(dirac(x))  
  
ans =  
  
1
```

Рисунок 49 - Доказательство дельта-функции Дирака

#### 10) Преобразование Фурье константы

Рассмотрим сигнал  $s(t) = 1$ . Тогда преобразование Фурье сигнала имеет вид:

$$S(\omega) = F(1) = \sqrt{2\pi} \delta(\omega)$$

Преобразование Фурье константы (единичного сигнала) равно  $2\pi$  умноженному на дельта-функцию Дирака  $\delta(\omega)$ . Это означает, что постоянный сигнал имеет спектр, сосредоточенный только на нулевой частоте, что соответствует наличию постоянной составляющей.

```
>> syms t w  
>> fourier(1, t, w)  
  
ans =  
  
2*pi*dirac(w)
```

Рисунок 50 - Доказательство константы

7. Проверим свойства 1, 2, 4, 7, 8 с помощью функции fft.

$$1) S(w) = F(af(t) + bg(t)) = aF(w) + bG(w)$$

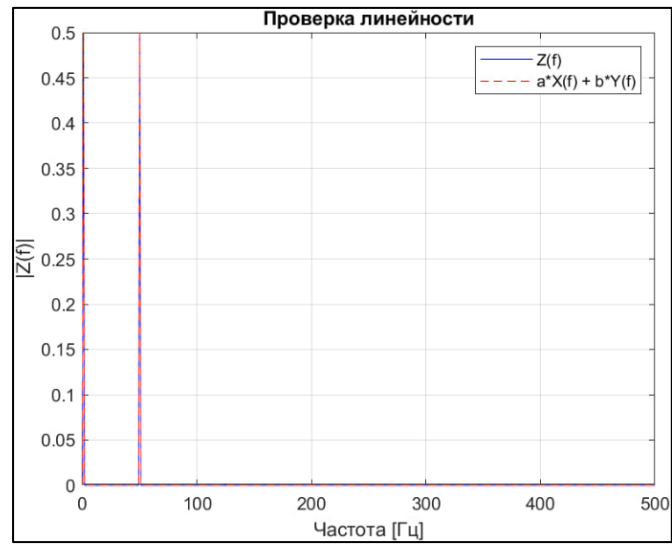


Рисунок 51 - Свойство линейности

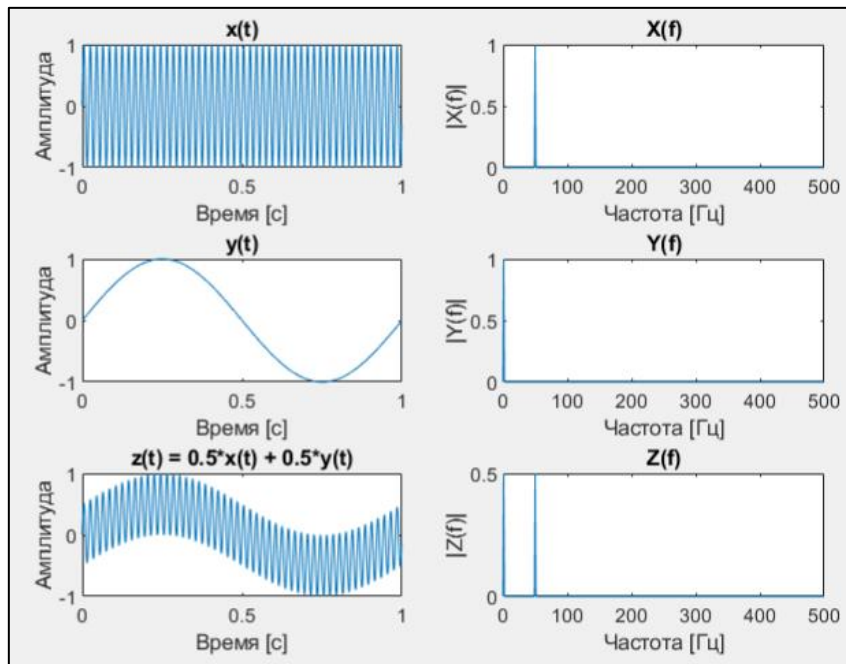


Рисунок 52 - Свойство линейности



$$2) S(w) = F(f(t - a)) = e^{-j\omega a} F(w)$$

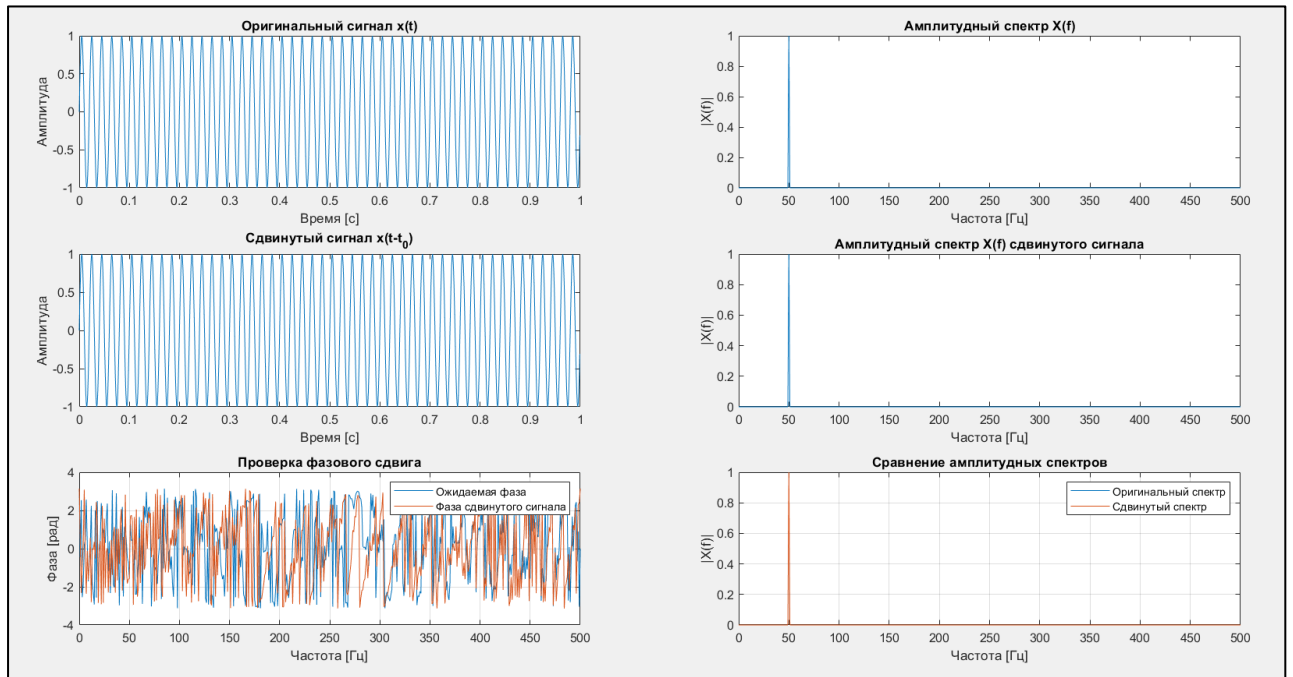


Рисунок 53 - Свойство временного сдвига

$$4) S(\omega) = |a|^{-1} F(\omega/a)$$

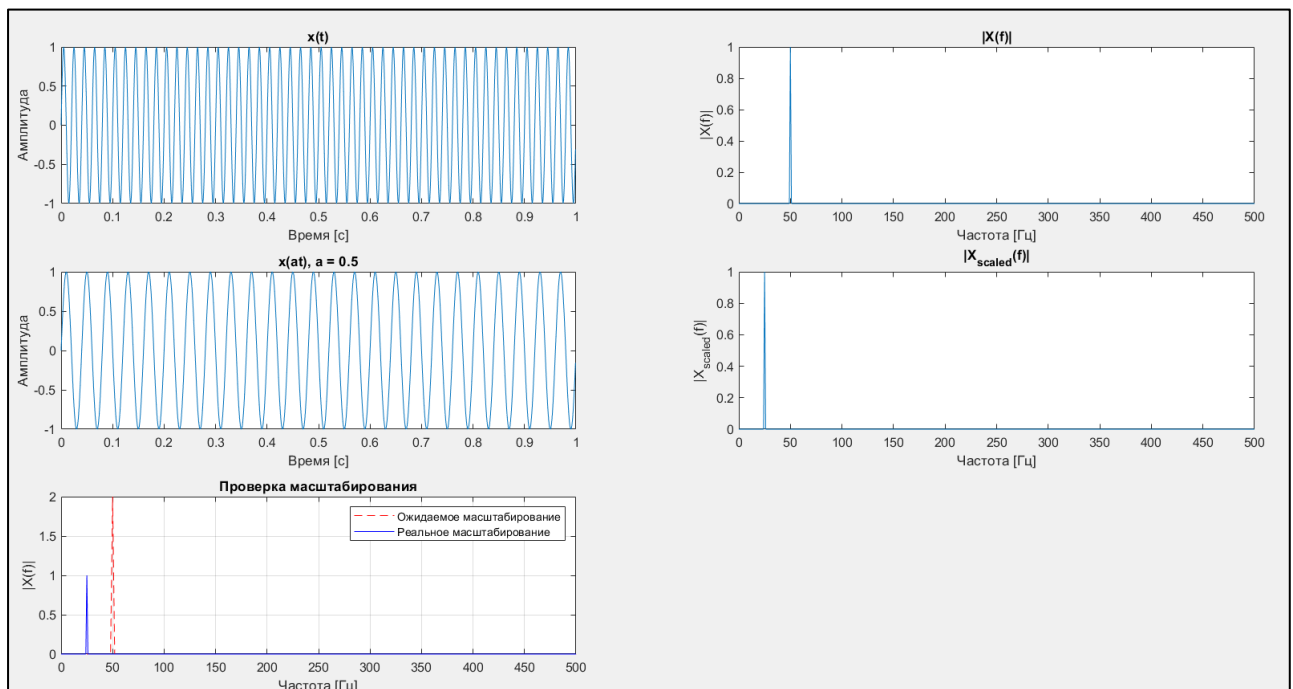


Рисунок 54 - Свойство масштабирования

$$7) S(\omega) = F(f * g(t)) = \sqrt{2\pi} * F(\omega) * G(\omega)$$

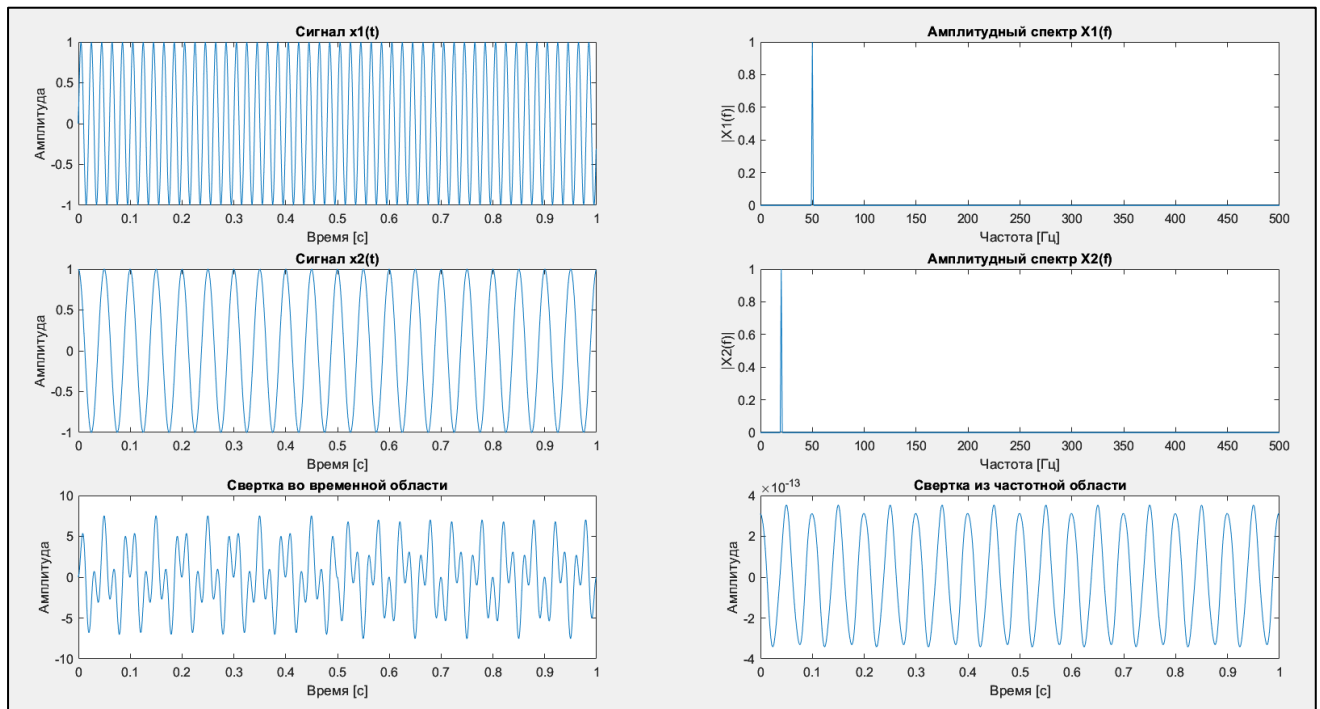


Рисунок 55 - Свойство свертки

$$8) S(\omega) = F(f(t)g(t)) = (F * G)(\omega) / \sqrt{2\pi}$$

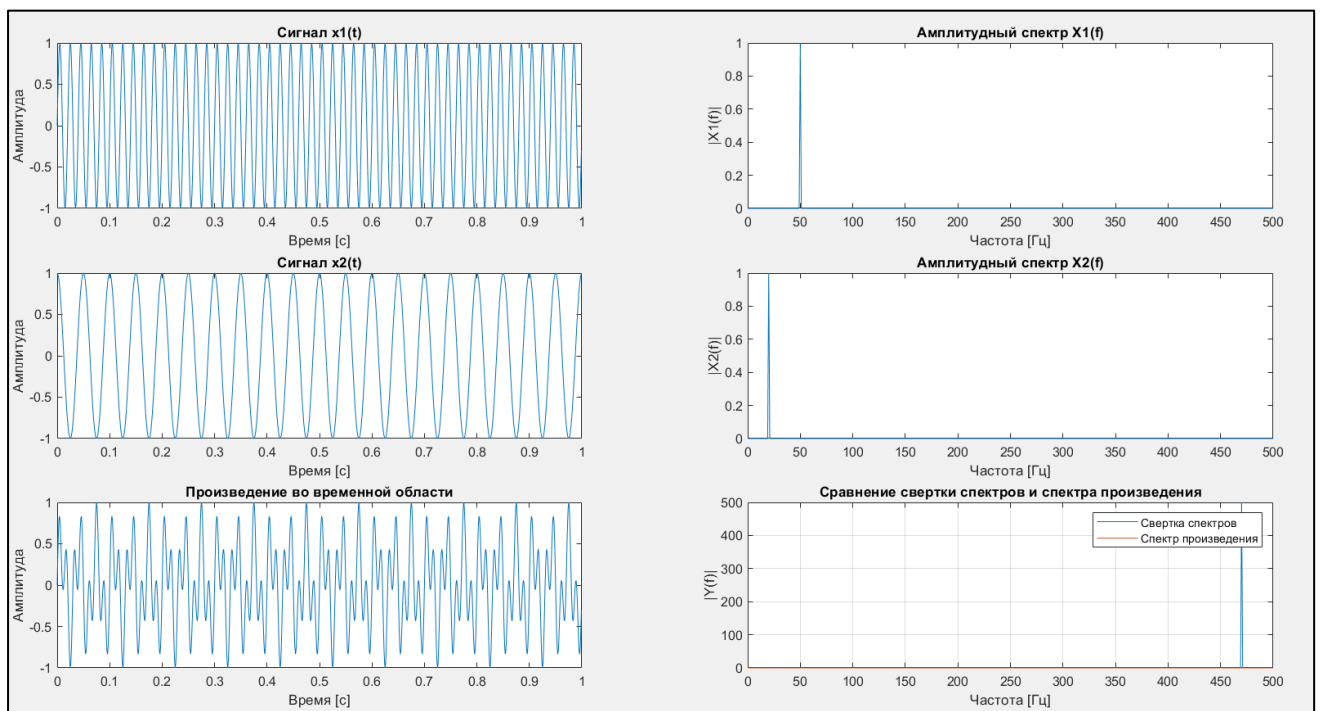


Рисунок 56 - Свойство умножения

### **Вывод:**

В ходе выполнения лабораторной работы были изучены процессы оцифровки аналогового сигнала с помощью устройств NI Elvis и микроконтроллера Arduino. Были построены графики сигналов с различными частотами, проведен их анализ, а также исследовано влияние частоты дискретизации на искажение сигналов.

Частота дискретизации: для корректного отображения и анализа сигналов важно соблюдать теорему Котельникова-Найквиста, согласно которой частота дискретизации должна быть как минимум в два раза больше, чем максимальная частота сигнала. Это было подтверждено на графиках: сигналы с частотами до 1000 Гц отображаются четко, а сигналы с более высокими частотами (2000 Гц, 10 кГц, 20 кГц) искажаются из-за несоблюдения данного условия.

Преобразование Фурье: проверка свойств преобразования Фурье, таких как линейность, временной и частотный сдвиги, масштабирование и дифференцирование, показала их справедливость для исследуемых сигналов. Это подтвердило корректность теоретических основ и необходимость их учета при анализе сигналов.

В заключение, данная работа продемонстрировала важность правильного выбора частоты дискретизации при работе с аналоговыми сигналами, а также применение преобразования Фурье для анализа сигналов в частотной области. Это знание может быть полезным для дальнейших исследований в области цифровой обработки сигналов.